

Representación de redes arquimedianas e inclusión: aplicaciones computacionales en percolación y transiciones en redes

Auro Anibal Torres^{1,2} and Antonio Jose Ramirez-Pastor^{1,2}

¹*Departamento de Física, Instituto de Física Aplicada (INFAP), Universidad Nacional de San Luis-CONICET*

²*Ejército de Los Andes 950, D5700HHW San Luis, Argentina**

(Dated: Julio de 2025)

Presentamos una representación geométrica alternativa para las once redes Arquimedianas, en la que cada sitio y enlace se etiqueta de forma única mediante un par ordenado de enteros y se caracteriza mediante la función módulo. Este esquema de etiquetado y caracterización estructurado permite implementar modelos computacionales de manera eficiente y sistemática sobre estas redes, sin recurrir a indexaciones ad hoc, y ofrece un marco versátil para futuros estudios sobre teselaciones regulares. Como aplicación obtenemos para cada una de las redes Arquimedianas, las curvas de fase por deposición de monómeros para los modelos de percolación sitio-enlace conocidos en la literatura como $S \cup B$ y $S \cap B$. Mostramos que las curvas de fase se ordenan en el espacio de fase según lo inducen las relaciones de inclusión parcial y total entre ellas demostradas por Parviainen et al (2003). Además, para los pares de redes $(3,6,3,6)/(3,4,6,4)$ y $(3^3,4^2)/(3^2,4,3,4)$, observamos una inversión entre los umbrales críticos de percolación pura de sitios y de enlaces, y mostramos que este fenómeno está vinculado al cruce entre sus curvas de fase, evidenciando la sensibilidad del comportamiento crítico frente a la topología de la red.

I. INTRODUCCIÓN

Denotamos con G un grafo o red cualquiera, con $V(G)$ su conjunto de sitios, y con $E(G)$ su conjunto de enlaces [1].

En un problema clásico de percolación pura de sitios sobre G , dos sitios primeros vecinos cualesquiera de $V(G)$, se consideran conectados entre si, si ambos sitios han sido ocupados con objetos físicos de interés, mediante algún proceso de ocupación predefinido, que comúnmente se elige aleatorio. Un cluster de sitios ocupados, es un conjunto de sitios primeros vecinos ocupados, simplemente conexo. Es decir, dado dos sitios cualesquiera del cluster, siempre es posible encontrar un camino constituido por sitios primeros vecinos ocupados, por el cual se puede ir de un sitio al otro. Se considera que la red ha percolado en una dada dirección, cuando un cluster de sitios ocupados, se extiende de borde a borde de la red, en la dirección elegida.

Análogamente, en un problema clásico de percolación pura de enlaces sobre G , dos enlaces primeros vecinos cualesquiera de $E(G)$, se consideran conectados entre si, si ambos enlaces han sido ocupados con objetos físicos de interés, mediante algún proceso de ocupación predefinido, que comúnmente se elige aleatorio. Un cluster de enlaces ocupados es un conjunto de enlaces primeros vecinos ocupados, simplemente conexo. Es decir, dado dos enlaces cualesquiera del cluster, siempre se encontrar un camino constituido por enlaces primeros vecinos ocupados, por el cual se puede ir de un enlace al otro. Se considera que la red ha percolado en una dada dirección, cuando un cluster de enlaces ocupados, se extiende de borde a borde de la red, en la dirección elegida.

Resumiendo, en un problema de percolación pura de sitios solo focalizamos la atención sobre el conjunto de sitios $V(G)$ de la red, mientras que en un problema de percolación pura de enlaces, solo focalizamos la atención sobre su conjunto de enlaces $E(G)$.

Por otra parte, un problema de percolación mixta sitio-enlace se supone que es una generalización del problema de percolación pura de sitios, y también el de enlaces. Ahora bien, geoméricamente, el primer vecino de un sitio ya no será otro sitio, sino que será un enlace. Y viceversa, el primer vecino de un enlace será un sitio. Dado un sitio cualquiera de un grafo G , el sitio vecino más cercano a este será uno de sus sitios segundos vecinos. Y dado un enlace de G , el enlace más cercano a este será uno de sus enlaces segundos vecinos. Cualquiera sea el modelo de percolación mixta, este debe redefinir el concepto de conexión entre pares de sitios segundos vecinos, o bien entre pares de enlaces segundos vecinos. En la literatura se distinguen al menos dos modelos de percolación mixta sitio-enlace. Hablaremos aquí solo de los dos modelos implicados en este trabajo, que son el modelo de percolación mixta de sitios y enlaces ($S \cap B$) [2, 3], y el modelo de percolación mixta de sitios o enlaces ($S \cup B$) [2, 3]. En adelante nos referiremos a ellos simplemente como los modelos $S \cap B$ y $S \cup B$, respectivamente. A continuación definimos cuando dos sitios segundos vecinos están conectados en ambos modelos:

* auro.torres@gmail.com

• **Modelo $S \cap B$** [2, 3]: Ver Figura 1(a). Dos sitios segundos vecinos de la red se consideran conectados entre sí, si ambos sitios y el enlace que los une están ocupados. Así, dos sitios distantes de la red se consideran conectados si una secuencia de sitios segundos vecinos conectados y consecutivos los une. Por otra parte, un clúster es un conjunto de sitios y enlaces ocupados en el cual, cualquier par de enlaces segundos vecinos están unidos entre sí por sitios ocupados, y a la vez, cualquier par de sitios segundos vecinos son unidos entre si por enlaces ocupados. En este modelo solo podemos hablar de clústeres de sitios y enlaces ocupados. En resumen, podemos interpretar a este modelo como una interacción entre sitios y enlaces, o entre enlaces y sitios, hasta el primer vecino. La expresión lógica de este modelo podemos expresarla como: $C_{ij} = s_i \wedge e_{ij} \wedge s_j$, donde s_i es un segundo vecino de s_j (o viceversa), y e_{ij} es el enlace que los une.

• **Modelo $S \cup B$** [2, 3]: Ver Figura 1(b). Dos sitios segundos vecinos de la red se consideran conectados entre sí, si ambos sitios están ocupados, o bien si el enlace que los une esta ocupado, o bien cuando se dan ambas situaciones. Así, dos sitios distantes de la red se consideran conectados si una secuencia de pares de sitios segundos vecinos conectados y consecutivos los une. En este modelo, podemos hablar de al menos dos tipos de clústeres: **1) Clúster de sitios y enlaces no necesariamente ocupados**. Es un conjunto de sitios y enlaces no necesariamente ocupados, simplemente conexo. Es decir, se puede ir de un sitio a otro del cluster a través de una sucesión consecutiva de pares de sitios segundos vecinos conectados. **2) Clúster de sitios y enlaces ocupados**. Conformado por un clúster del tipo **1)** pero en dónde solo se contabilizan los sitios y enlaces ocupados. En resumen, podemos considerar a este modelo como una interacción entre sitios y enlaces, o entre enlaces y sitios, hasta el segundo vecino. La expresión lógica de este modelo podemos expresarla como: $C_{ij} = (s_i \wedge s_j) \vee e_{ij}$, donde s_i es un segundo vecino de s_j (o viceversa), y e_{ij} es el enlace que los une.

En cualquiera de los dos modelos, cuando uno de los sitios distantes conectados pertenece a uno de los bordes de la red, y el otro pertenece al borde opuesto de la misma, se dice que la red ha percolado en la dirección que une ambos bordes. Al cluster que contiene los sitios conectados de ambos bordes, se le llama cluster gigante si la red es de tamaño finito, y cluster infinito si la red es de tamaño infinito. Su presencia determina una *transición de fase geométrica* en el sistema.

La curva de fase asociada a la deposición de monómeros sobre G , surge cuando se ocupan aleatoriamente los enlaces de $E(G)$ con probabilidad P_b , y luego se ocupan con monómeros los sitios de $V(G)$ con probabilidad P_s , hasta encontrar el menor valor de P_s que haga percolar la red en alguna dirección, para un dado P_b . Esto determina una probabilidad crítica $P_{s,c}(P_b)$ que en la literatura se conoce como probabilidad crítica de Hammersley [4]. La variación de P_b en el rango de 0 a 1 determina la curva de fase $P_{s,c}(P_b)$ de la red G .

El problema de percolación mixta sitio-enlace ha recibido considerable atención en varias áreas y, tiene muchas aplicaciones en diferentes campos. Por ejemplo, ha sido usado como modelo prototipo para el estudio de la transición sol-gel (gelación) de polímeros [5]. En este modelo, los enlaces representan enlaces químicos, los sitios ocupados representan monómeros, y los sitios no ocupados representan moléculas solventes. También ha sido aplicado al estudio de la adsorción disociativa sobre superficies metálicas [6, 7]. En este sentido, Gao y Yang [8] investigaron los procesos de adsorción disociativa de dímeros y estudiaron las propiedades percolantes de los monómeros disociados en función de la concentración de dímeros (sitios) y la probabilidad de disociación (enlaces). Obtuvieron un diagrama de fase que separa la región percolante de la no percolante. Del mismo modo, la percolación mixta ha sido aplicada en investigaciones biológicas y médicas. Un ejemplo típico aparece cuando alguna condición patológica se expande por infección contagiosa a través de una gran colonia estática de células (o individuos), de las cuales una proporción p es susceptible, y una proporción $1 - p$ es inmune a la infección. Las células están representadas por los vértices de una red (sitios) que se conectan entre sí por los enlaces de la red, a través de los cuales se puede propagar la infección [9]. El enfoque tradicional de la percolación sitio-enlace ha sido usado para modelar la estructura de la red de poros y fenómenos de capilaridad. En este marco, los sitios representan cuerpos porosos (cavidades) y los enlaces corresponden a los cuellos de los poros (ventanas) [10, 11].

El problema de percolación mixta sitio-enlace fue primero mencionado por Frisch y Hammersley [12], pero luego investigado por primera vez por medio de simulaciones de Monte Carlo por Hoshen et al [13]. Agrawal et al [14] probaron que los exponentes críticos de la percolación pura de sitios, son también válidos para la percolación mixta sitio-enlace. Nakanishi y Reynolds [15] confirmaron esta conclusión a través del estudio del grupo de renormalización del espacio de posiciones, encontrando también que la frontera entre la zona de percolación y no percolación en el plano (P_b, P_s) esta gobernada por un único punto fijo. Hammersley [9] probó un teorema para grafos parcialmente dirigidos, desde el cual se deriva la siguiente desigualdad

$$P(P_s P_b, 1) \leq P(P_s, P_b) \leq P(1, P_s P_b) \quad (1)$$

donde $P(P_s, P_b)$ es la probabilidad de percolación, es decir, la probabilidad de que un único sitio fuente esté conectado a un conjunto infinito de otros sitios. Esta desigualdad da cotas razonablemente precisas para la probabilidad de percolación mixta. Para una red de Bette Tarasevich et al [16] obtuvieron la relación

$$P_s P_b = P_c \quad (2)$$

donde $P_c = P_{s,c} = P_{b,c}$.

La forma de la frontera entre la región percolante y no percolante, fue subsecuentemente estudiada por Yanuka y Englman [17]. Ellos propusieron la siguiente ecuación para la curva crítica en el plano (P_b, P_s) ,

$$\frac{\log P_s}{\log P_{s,c}} + \frac{\log P_b}{\log P_{b,c}} = 1 \quad (3)$$

Esta ecuación satisface la desigualdad 1 y reproduce la Ecuación 2 para la curva de fase de la red de Bette. Esta ecuación define una curva en el plano (P_b, P_s) , empezando en el punto $(P_{b,c}, 1)$ y finalizando en $(1, P_{s,c})$. Yanuka y Englman [17] mostraron gráficas de la Ecuación 3 además de resultados de simulación para la curva de fase (P_b, P_s) de las redes cuadrada, triangular, cúbica simple, y cúbica de cara centrada (fcc). Todos los resultados de sus simulaciones se parecen notablemente a la curva definida por esta ecuación. No es claro desde su publicación, si los datos de por ejemplo, la red fcc, los cuales yacen visiblemente por debajo de la curva crítica dada por la Ecuación 3, son lo suficientemente precisos para concluir que hay discrepancias entre ambas curvas.

Tretyakov e Inui [18], estudiaron la misma curva crítica, pero ahora para percolación dirigida. Los resultados de sus simulaciones fueron lo suficientemente precisos para concluir que hay desviaciones del orden 10^{-3} a 10^{-4} . Esta cuestión despertó en Tarasevich et al [16], el cuestionamiento de si tales desviaciones también ocurren en la percolación sitio-enlace regular. Por ello emprendieron un estudio sistemático de los valores de umbral (P_b, P_s) para percolación aleatoria sitio-enlace en varias redes, para el modelo $S \cap B$. Presentaron resultados de simulación los cuales se apartan mucho desde los valores obtenidos por la Ecuación 3 de Yanuka-Englman. Las desviaciones más grandes se producen para redes donde el cociente $\alpha = P_{s,c}/P_{b,c}$ es pequeño, es decir, en redes para las cuales el umbral de percolación puro de enlace, es mucho mayor que el umbral de percolación puro de sitios. Nosotros en este trabajo usaremos en parte los resultados de la simulación de Tarasevich et al [16]. En especial usaremos los datos que involucran a las redes Arquimedianas (4^4) , (3^6) , (6^3) , $(3^3, 4^2)$, $(3^3, 4, 3, 4)$ y $(3, 6, 3, 6)$, para validar nuestras simulaciones computacionales en el caso del modelo $S \cap B$. También Tarasevich et al [16], presentaron una ecuación aproximada para la curva de fase (P_b, P_s) en el modelo $S \cap B$.

González et al [2] realizaron un estudio teórico y computacional de la percolación mixta sitio-enlace sobre redes triangulares, para ambos modelos, $S \cup B$ y $S \cap B$. Ellos obtuvieron la curva de fase y los exponentes críticos de la transición de fase que ocurre en estos sistemas. Además presentaron un enfoque teórico del problema de percolación mixta sitio-enlace, basado en el cálculo exacto del número de configuraciones sobre celdas triangulares finitas. En particular, los puntos críticos $(P_b, P_{s,c})$ de la curva de fase, fueron obtenidos por el método propuesto por Yonezawa et al [19], lo que hace este conjunto de datos de interés para la validación de nuestras simulaciones en ambos modelos, $S \cap B$ y $S \cup B$. Por una comunicación privada con los autores de este trabajo, también contamos con la curva de fase asociada a las redes cuadradas, cuyos puntos críticos fueron también obtenidos por el método propuesto por Yonezawa et al [19]. Usamos tales datos para validar los resultados de nuestras simulaciones para redes cuadradas para ambos modelos, $S \cup B$ y $S \cap B$.

Una vez definido el modelo de percolación mixta, surge el problema de cómo tratar geoméricamente una red dada, de tal manera que sea posible detectar cuando la misma ha percolado bajo el criterio de percolación elegido, y que esta detección implique el menor esfuerzo computacional posible. En respuesta a esta dificultad, veremos en la Sección II, cómo se trata tradicionalmente la red cuando se quiere detectar si la misma ha percolado en alguna dirección predefinida, y en la Sección III, cómo se lo puede hacer en *forma alternativa*.

II. REPRESENTACIÓN TRADICIONAL DE LAS REDES ARQUIMEDIANAS

A. Origen y propiedades de las redes Arquimediana

Sea $F = \{T_1, T_2, \dots\}$ un teselado plano, es decir, una familia contable de conjuntos cerrados o teselas T_i , los cuales cubren el plano Euclidiano sin brechas o espacios ni traslapamientos entre ellos. Mas explícitamente, la unión de los conjuntos o teselas T_1, T_2, \dots da como resultado el plano Euclidiano total, y la intersección entre los interiores de los conjuntos T_1, T_2, \dots , da como resultado el conjunto vacío [20].

Si requerimos que el teselado plano F , solo este compuesto de polígonos regulares, y que todos sus vértices sean del mismo tipo, entonces, existen precisamente 11 teselados distintos que cumplen este requerimiento [20]. Estos teselados son (3^6) , $(3^4, 6)$, $(3^2, 4^2)$, $(3^2, 4, 3, 4)$, $(3, 4, 6, 4)$, $(3, 6, 3, 6)$, $(3, 12^2)$, (4^4) , $(4, 6, 12)$, $(4, 8^2)$ y (6^3) , notación o símbolo que

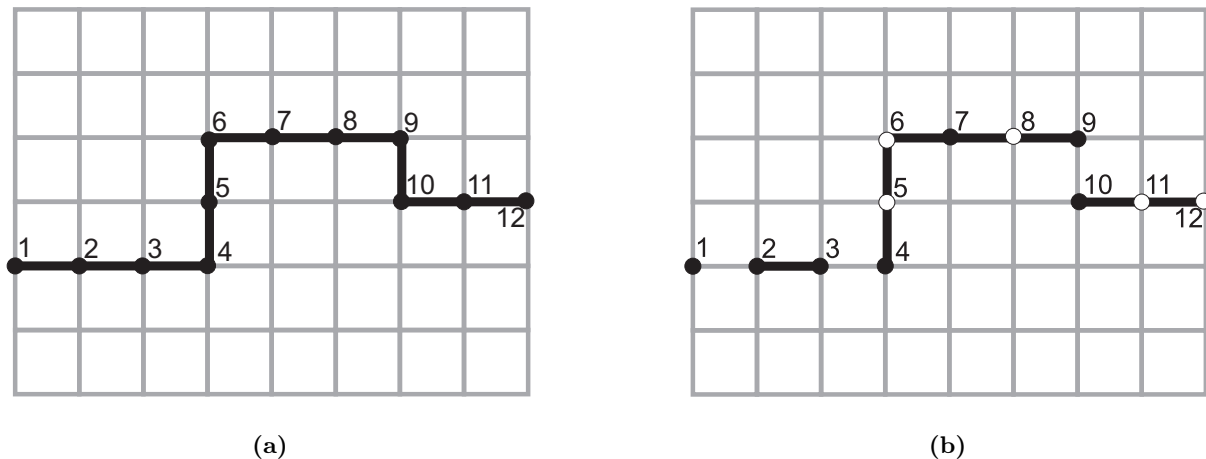


Figura 1. Un sitio ocupado se indica con un círculo lleno en color negro. Un enlace ocupado se indica con una línea gruesa de color negro. (a) Conexión de sitios adyacentes en el modelo $S \cap B$: Cualquier par de sitios adyacentes $(i, i + 1)$ están conectados, pues estos sitios y el enlace que los une están ocupados. El cluster de sitios y enlaces ocupados que va del sitio 1 al sitio 10 atraviesa la red de borde a borde, horizontalmente. decimos que la red ha percolado horizontalmente. (b) Conexión de sitios adyacentes en el modelo $S \cup B$: Cualquier par de sitios adyacentes $(i, i + 1)$ están conectados, ya sea porque ambos sitios están ocupados, o el enlace que los une está ocupado, o ambas cosas a la vez. Como los sitios 1 y 10 están conectados, y pertenecen a bordes opuestos, decimos que la red ha percolado horizontalmente.

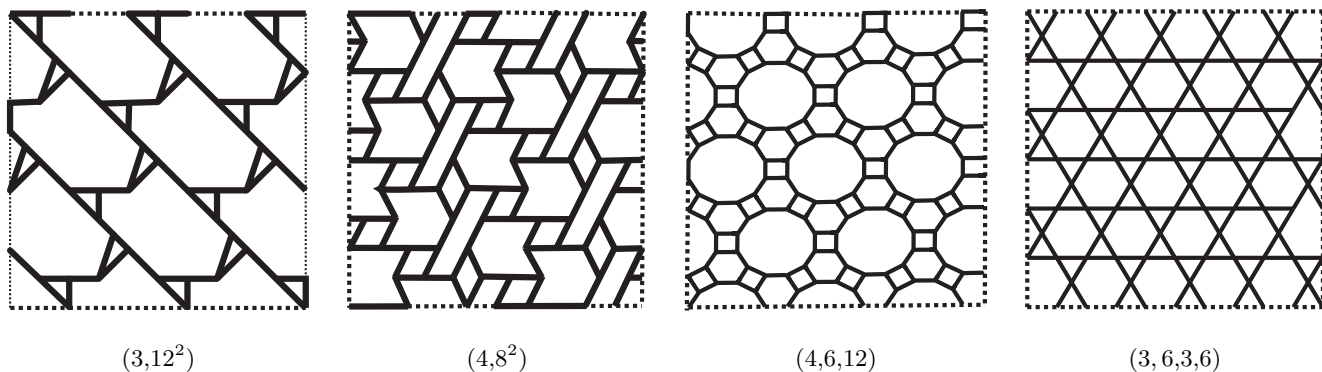


Figura 2. Representación tradicional de las redes Arquimedianas. Los segmentos representan enlaces, mientras las intersecciones de estos representan los sitios de la red.

indica el único tipo de vértice que los compone [20]. En las Figuras 2, 3, y 4, se muestran los 11 teselados listados aquí. Usualmente son llamados Teselados Arquimedianos o Redes Arquimedianas, aunque algunos autores los llaman Teselados Homogéneos o Semiregulares. El adjetivo "Arquimadiano" se refiere a que estos teselados son monogonales, es decir, los vecinos inmediatos de cualquier par de vértices "ven lo mismo". También estos teselados tienen la propiedad de ser isogonales, lo que significa que cada par de vértices son equivalentes bajo alguna simetría del teselado [20].

Al ser cada una de las redes Arquimedianas construidas con un solo tipo de vértice, todos los vértices pertenecientes a una red dada, tienen el mismo grado o número de coordinación z , supuesto una red de tamaño infinito, o bien finita con condiciones de contorno periódicas (CCP).

Se caracterizan además por ser planas [21], es decir, todos los puntos de intersección de sus enlaces constituyen sus vértices, los cuales podrán ocuparse o no con elementos físicos de interés. También son planas en el sentido de la teoría de grafos [21], pues se pueden dibujar en el plano sin que ningún enlace o arista se cruce con otro. Todas ellas pueden ser dibujadas sobre esferas, siendo esto una propiedad de los grafos planos en general.

Hacemos notar aquí que, elegido un vértice de una red Arquimadiana dada, y un sentido de giro que sea el mismo para todos sus vértices, todos los vértices generarán el mismo nombre o notación para la red elegida, excepto para la red conocida como (4,6,12). Si observamos la red (4,6,12) en la Figura 2, elegimos un sentido de giro, y luego recorremos cada uno de los vértices de un dodecágono cualquiera, no todos sus vértices generan literalmente el mismo nombre o notación, aunque una vez ordenados estos nombres lexicográficamente, si lo hacen .

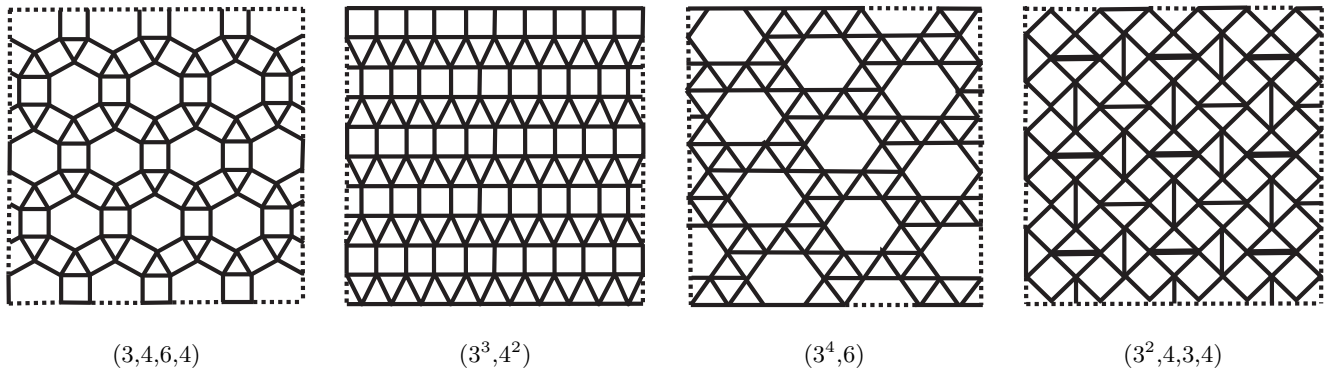


Figura 3. Representación tradicional de las redes Arquimedianas. Los segmentos representan enlaces, mientras las intersecciones de estos representan los sitios de la red.

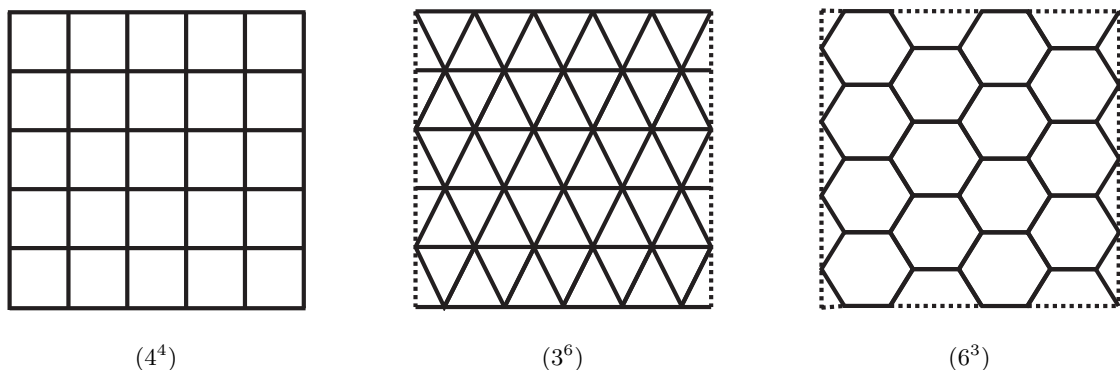


Figura 4. Representación tradicional de las redes Arquimedianas. Los segmentos representan enlaces, mientras las intersecciones de estos representan los sitios de la red.

B. Celdas de construcción tradicionales de las redes Arquimedianas

Es habitual que la construcción geométrica de las redes Arquimedianas, se realice a partir de celdas de construcción llamadas celdas unidad (CU). En las Figuras 5, 6, y 7, se han representado las CU de cada una de ellas. Los sitios o vértices se han representado con círculos llenos de color gris oscuro y etiqueta numérica de color blanco, y los enlaces se han representado con segmentos de color gris y etiqueta numérica de color negro. Una red Arquimediana cualquiera, se obtiene trasladando su respectiva CU en dos direcciones distintas, no necesariamente perpendiculares entre sí, tantas veces como sea necesario hasta obtener el tamaño deseado de las aristas de la red.

Que dos sitios tengan la misma numeración en una dada CU, significa que sus primeros y segundos vecinos pueden ser identificados con los mismos vectores desplazamientos, respecto de la posición de cada sitio de igual numeración, supuesto una red de tamaño infinito, o de tamaño finito con condiciones de contorno periódicas (CCP). En este sentido decimos que los sitios de igual numeración son equivalentes entre sí. Igualmente, que dos enlaces de una dada CU tengan la misma numeración, significa que son equivalentes en el mismo sentido explicado para los sitios de igual numeración. Como veremos, esta equivalencia es clara en el contexto de la *representación alternativa* de una red, la cual explicamos en una sección posterior, pero no así en el contexto de la representación tradicional.

C. Tratamiento geométrico tradicional de una red

Ambos modelos ($S \cap B$ y $S \cup B$) son convertidos a redes efectivas de enlaces [2, 3], convirtiendo el problema de percolación mixta, en un problema de percolación puro de enlaces, donde la operación computacional preponderante es el análisis de conexión entre un enlace dado, y los enlaces primeros vecinos de este. A continuación describimos cómo se hace la transformación de la red real a una red efectiva.

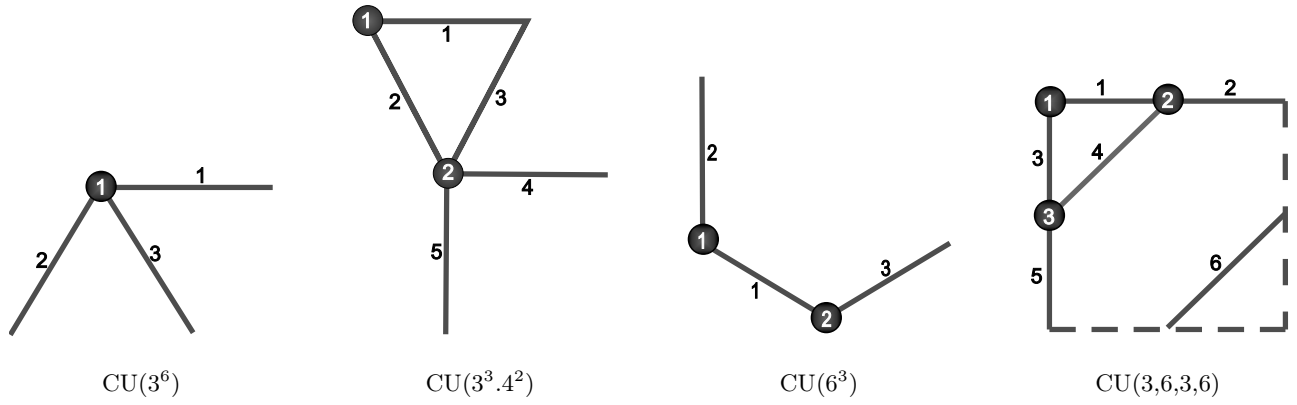


Figura 5. Cuatro de las 11 celdas unidad (CU) de las redes Arquimedianas. Cada CU debe ser trasladada en dos direcciones convenientemente elegidas, para obtener la red deseada.

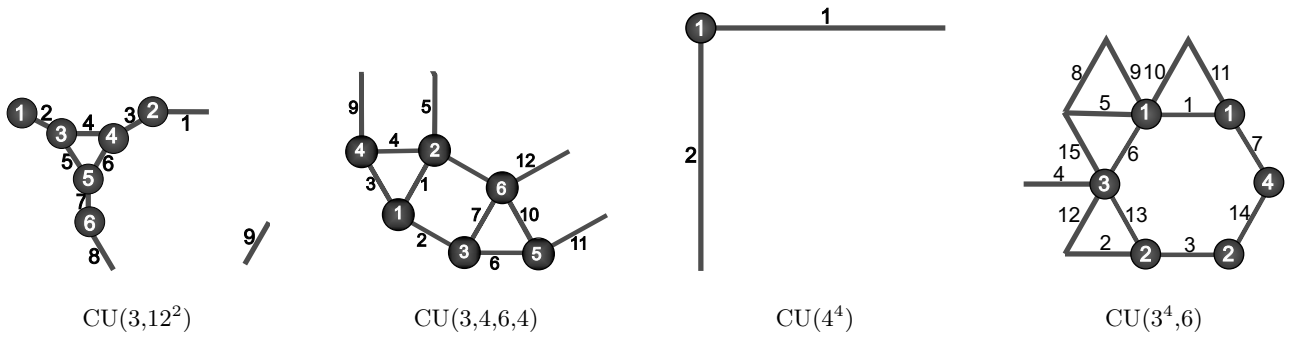


Figura 6. Cuatro de las 11 celdas unidad (CU) de las redes Arquimedianas. Cada CU debe ser trasladada en dos direcciones convenientemente elegidas, para obtener la red deseada.

1. Red efectiva en el modelo $S \cap B$

En este modelo la red de sitios y enlaces, L, puede ser convertida en una red efectiva de solamente enlaces, L', ver Figura 8. El mapeo de L en L' sigue el siguiente proceso:

1. Cada enlace vacío de L se transforma en un enlace vacío de L'. Ver etiquetas A, E, y F de la Figura 8.

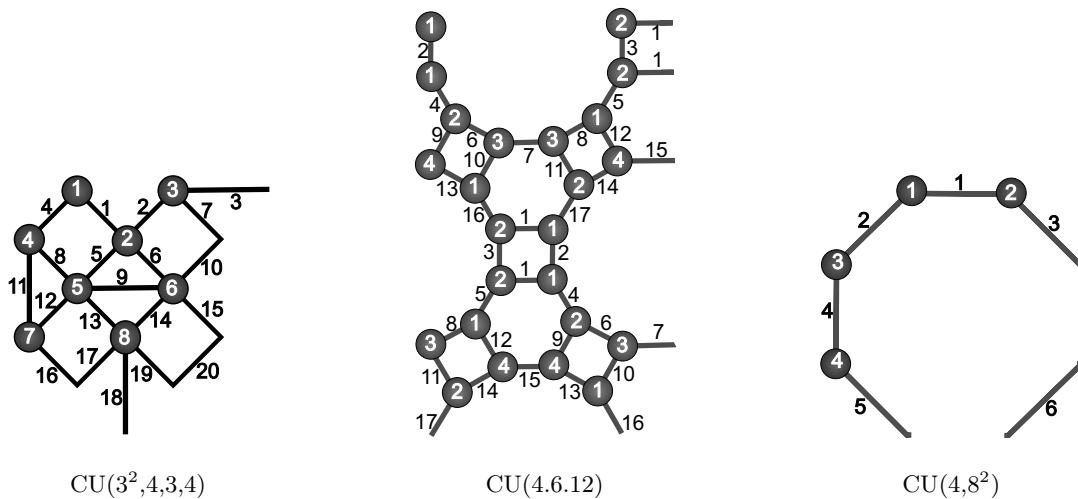


Figura 7. Tres de las 11 celdas unidad (CU) de las redes Arquimedianas. Cada CU debe ser trasladada en dos direcciones convenientemente elegidas, para obtener la red deseada.

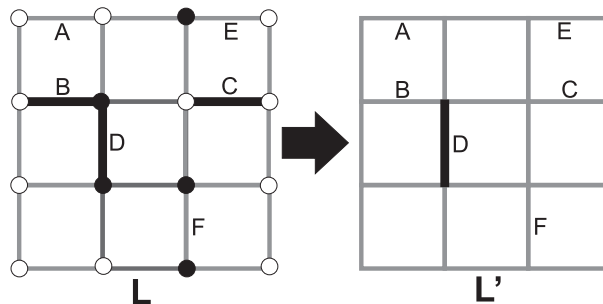


Figura 8. Transformación de la red real L en la red efectiva L' en el modelo $S \cap B$. Los círculos llenos de color negro indican sitios ocupados. Los enlaces representados con líneas en negro indican que están ocupados. Los círculos no llenos indican sitios vacíos. Las líneas grises indican enlaces desocupados.

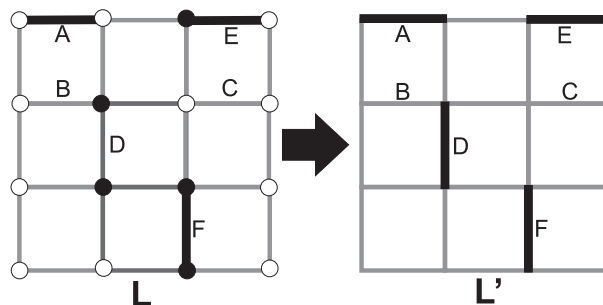


Figura 9. Transformación de la red real L en la red efectiva L' en el modelo $S \cup B$. Los círculos llenos de color negro indican sitios ocupados. Los enlaces representados con líneas negras indican que están ocupados. Los círculos no llenos indican sitios vacíos. Las líneas grises indican enlaces desocupados.

2. Cada enlace ocupado con uno o dos sitios extremos vacíos de L , se transforma en un enlace vacío de L' . Ver etiquetas B y C de la Figura 8
3. Cada enlace ocupado con sus sitios extremos ocupados de L , se transforma en un enlace ocupado de L' . Ver etiqueta D de la Figura 8

Por lo tanto, un problema de percolación de sitios y enlaces L , se transforma en un problema de percolación de solo enlaces en la red L' .

2. Red efectiva en el modelo $S \cup B$

En este modelo la red de sitios y enlaces, L , puede ser convertida en una red efectiva de solamente enlaces, L' , ver Figura 9. Ahora, el mapeo de L en L' sigue el siguiente proceso:

1. Cada enlace ocupado de L se transforma en un enlace ocupado de L' . Ver etiquetas A, E, y F de la Figura 9.
2. Cada enlace vacío con uno o dos sitios extremos vacíos de L , se transforma en un enlace vacío de L' . Ver etiquetas B y C de la Figura 9.
3. Cada enlace vacío con sus sitios extremos ocupados de L , se transforma en un enlace ocupado de L' . Ver etiqueta D de la Figura 9.

Nuevamente, un problema de percolación de sitios y enlaces L , se transforma en un problema de percolación de solo enlaces en la red L' .

En cualquiera de los modelos, una vez que se ha completado el mapeo, cada configuración percolante o no percolante en la red efectiva, L' , corresponderá a una configuración percolante o no percolante en la red original, L . También, la red efectiva, L' , implica una interacción a primeros vecinos entre enlaces.

Para la realización computacional de un análisis de percolación en la red efectiva L' , hace falta un método sistemático de etiquetado de los enlaces que componen la misma. En la literatura solo se vislumbran indexaciones ad hoc, cada una de ellas válida para la red particular que se creó.

Sigue al etiquetado de los enlaces en la red efectiva L' , la aplicación de algún algoritmo de análisis de clústeres y de detección de percolación como el de Hoshen y Kopelman [13], o bien alguna variante de los algoritmos unión/encontrar que se encuentran en la literatura de la física computacional, o bien en la literatura de las ciencias de la computación [22].

III. REPRESENTACIÓN ALTERNATIVA DE LAS REDES ARQUIMEDIANAS

A. Celdas de construcción alternativas de las redes Arquimedianas

En las Figuras 10, 11, y 12, mostramos las CU de cada una de las redes Arquimedianas, pero ahora representadas de la manera propuesta en este trabajo. Tanto los sitios como los enlaces se representan mediante cuadrados de arista "unidad". La representación de sitios de una red mediante cuadrados no es nueva, siendo estos cuadrados parte de un cuadrículado más grande el cual representa la red que queremos estudiar. Por ejemplo, Kim Christensen y Nicholas R. Moloney[23], usaron esta representación para ilustrar ciertos aspectos del problema de percolación pura de sitios en una red unidimensional y en la red cuadrada, pero no profundizaron sobre esta representación. También es habitual encontrar esta representación de la red cuadrada mediante un cuadrículado, cuando se quiere ilustrar un proceso de percolación pura de sitios sobre la pantalla de un monitor de PC o de una notebook. No obstante, nuestra propuesta tiene algunos matices. Observemos que:

1. Tanto los sitios como los enlaces están representados por celdas cuadradas de arista "unidad". Los sitios están pintados con un degradado que va de negro a gris (50%), mientras que los enlaces están pintados con un degradado que va de gris (50%) a blanco. El resto de las celdas representan "huecos" no usados por la red en estudio.
2. Todas las CU son cuadradas o rectangulares.
3. Los enlaces solamente enlazan sitios en las direcciones, horizontal, vertical, en diagonal a 45° o en diagonal a -45° . La dirección en la cual actúa un enlace se señala con una línea blanca. Dada una CU, un enlace solo puede unir un único par de sitios, es decir, opera en una única dirección.
4. Como en el modelo tradicional, un sitio podrá tener como primer vecino uno o varios enlaces, mientras que un enlace podrá tener como primer vecino hasta dos sitios a lo sumo.
5. A diferencia del modelo tradicional, los sitios y los enlaces no pierden su identidad como tal al tratar la red, es decir, los sitios siguen siendo sitios y los enlaces siguen siendo enlaces. Lo que se ha cambiado es su representación geométrica.
6. Todas las redes se construyen trasladando la CU correspondiente, en dirección horizontal o vertical, tantas veces como sea necesario, hasta alcanzar el tamaño de aristas deseado. A modo de ejemplo, en la Figura 13(a), se muestra la red de kagome o (3,6,3,6) de $4CU \times 4CU$, y en la Figura 13(b), se muestra la red K^+ o (3,12²) de $2CU \times 2CU$.
7. En esta representación podemos hablar de la densidad absoluta de sitios (enlaces) o de celdas posibles de ser ocupados por sitios (enlaces), la cual queda claramente determinada por la estructura de la CU, la que a su vez también determina la densidad absoluta de huecos de la red. La traslación de la CU no afecta la densidad de sitios-enlaces-huecos de la red.
8. En esta representación es posible construir cuadrículados de tamaño mínimo $L_{\min} \times L_{\min} = 48 \times 48$ dentro de los cuales podemos encajar un número entero de veces cada una de las CU de las redes Arquimedianas. Donde $L_{\min} = 48$ es el MCM (Mínimo Común Múltiplo) de todos los tamaños de aristas implicados en las respectivas CU, teniendo en cuenta filas y columnas de las mismas. Es decir, $L_{\min} = \text{MCM}(2, 4, 6, 8, 12, 16) = 2^4 \times 3 = 48$. El hecho de que se pueda estandarizar el tamaño de las redes Arquimedianas utilizando múltiplos de 48, facilita en gran medida el estudio y la comparación de estas redes en el contexto de *problemas de competencias o competición*. La estandarización de las dimensiones de las redes permite una comparación más justa y objetiva entre ellas, ya que elimina las disparidades en términos de tamaño.
9. En esta representación se vislumbra un nuevo tipo de problema de percolación, el cual puede en principio tener aplicaciones prácticas:
Consideremos un cuadrículado de tamaño $L \times L$, en el cual se inscribe por ejemplo la red (3,6,3,6), donde L es un múltiplo de 48. Inicialmente todos los cuadrados de la red están "desactivados". Ahora procedamos a

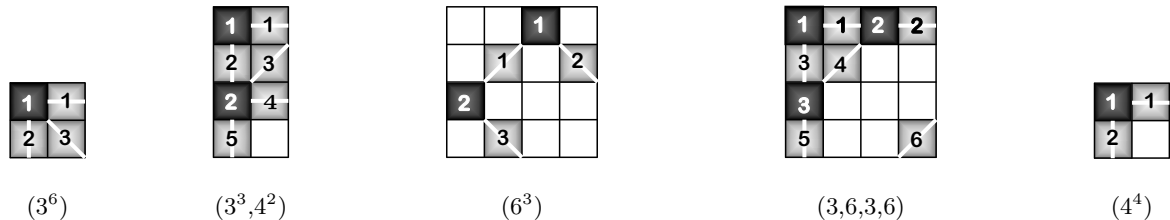


Figura 10. Cinco de las 11 CU de las redes Arquimedianas. Todas las redes Arquimedianas se construyen trasladando horizontalmente y verticalmente las respectivas CU.

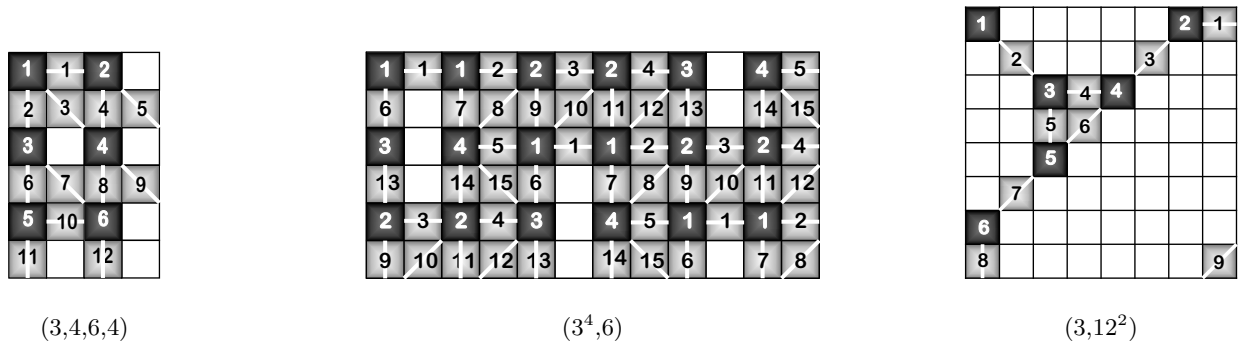


Figura 11. Tres de las 11 CU de las redes Arquimedianas. Todas las redes Arquimedianas se construyen trasladando horizontalmente y verticalmente las respectivas CU.

"activar" cada cuadrado aleatoriamente, hasta alcanzar cierta concentración deseada P_a de cuadrados activos. Si el cuadrado activado corresponde a un sitio o a un enlace de la red $(3,6,3,6)$ se ocupa, y si corresponde a un hueco no se hace nada. ¿Para qué concentración crítica $P_{a,c}$ de cuadrados activos, esta red "percola" en alguno de los modelos $S \cup B$ o $S \cap B$? En el límite termodinámico $L \rightarrow \infty$ podremos obtener el valor crítico $P_{a,c}^\infty$. Si contestamos esta pregunta para cada una de las redes Arquimedianas, podremos comparar sus valores críticos $P_{a,c}$ o bien $P_{a,c}^\infty$ y sacar algunas conclusiones.

10. Otro problema:

Consideremos un cuadrículado de tamaño $\mathbf{L} \times \mathbf{L}$, en el cual se inscribe por ejemplo la red $(3,3,6,3)$, donde \mathbf{L} es un múltiplo de 48. Inicialmente todos los cuadrados de la red están "activados". Ahora procedamos a "desactivar" cada cuadrado aleatoriamente, hasta alcanzar cierta concentración deseada P_a de cuadrados desactivados. Si el cuadrado desactivado corresponde a un sitio o a un enlace de la red $(3,6,3,6)$ se desocupa, y si corresponde a un hueco no se hace nada. ¿Para qué concentración crítica $P_{a,c}$ de cuadrados desactivados, la red deja de "percolar" en alguno de los modelos $S \cup B$ o $S \cap B$? En el límite termodinámico $L \rightarrow \infty$ podremos obtener el valor crítico $P_{a,c}^\infty$. Si contestamos esta pregunta para cada una de las redes Arquimedianas, podremos comparar sus valores críticos $P_{a,c}$ o bien $P_{a,c}^\infty$, y sacar algunas conclusiones.

B. Etiquetado y caracterización de cada uno de los sitios y enlaces de una red Arquimediana

1. Etiquetado

Resulta obvio en esta representación que cada sitio y enlace de la red se puede etiquetar con un par ordenado de números enteros (f, c) , donde f es la f -ésima fila donde se localiza la celda que representa el sitio o enlace de la red, y c es la c -ésima columna sobre la red considerada. Las filas se cuentan de arriba hacia abajo, y las columnas de izquierda a derecha, tal como se hace con una matriz de números en el contexto de las matemáticas.

2. Caracterización

Tomamos como ejemplo, la red de kagome $(3,6,3,6)$ de la Figura 13(a). Llamamos $NFCU$ al número de filas de la celda unidad, y $NCCU$ al número de columnas de la misma. Los sitios enumerados con 1 en la red verifican

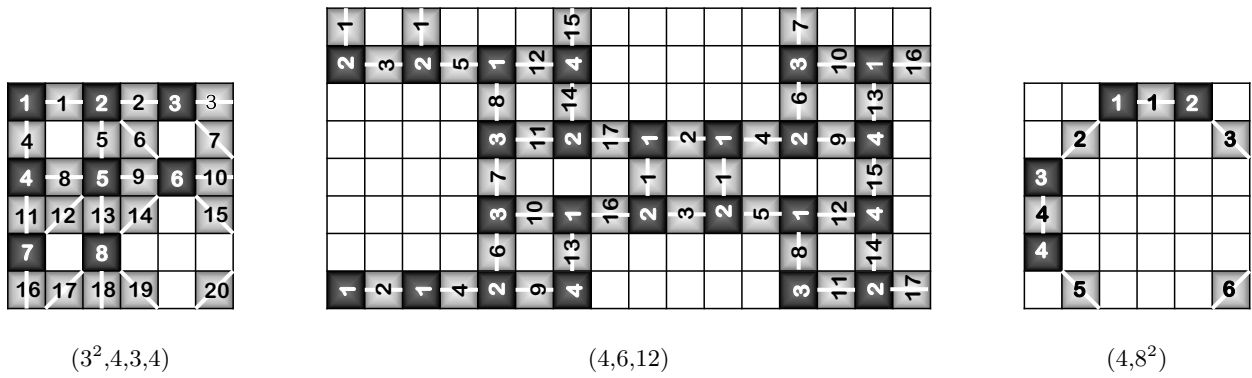


Figura 12. Tres de las 11 CU de las redes Arquimedianas. Todas las redes Arquimedianas se construyen trasladando horizontalmente y verticalmente las respectivas CU.

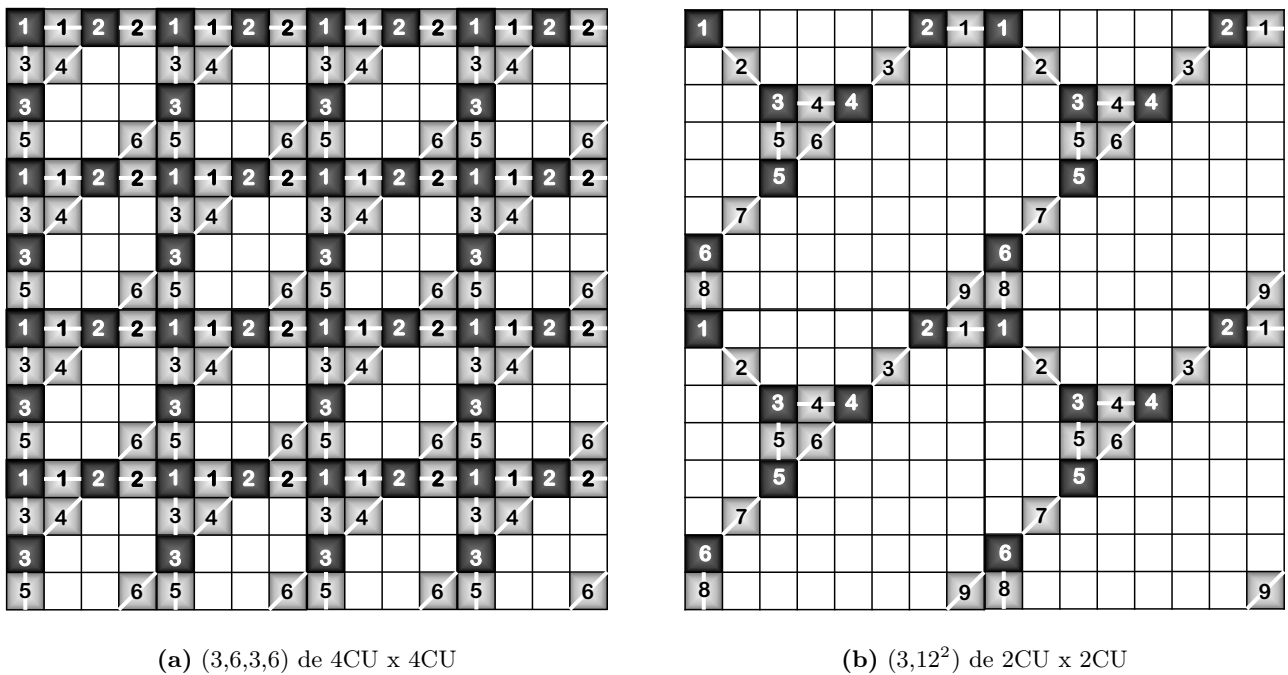
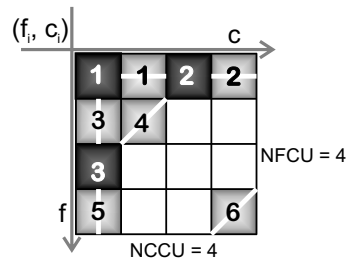


Figura 13. Ejemplo de redes alternativas. (a) kagome o $(3, 6, 3, 6)$ de $4CU \times 4CU$ y (b) $K+$ o $(3, 12^2)$ de $2CU \times 2CU$.

que $f_i \bmod NFCU = 0$, y $c_i \bmod NCCU = 0$; los enumerados con 2 verifican que $f_i \bmod NFCU = 0$, y $c_i \bmod NCCU = 2$; y los numerados con 3 verifican que $f_i \bmod NFCU = 2$, y $c_i \bmod NCCU = 0$. De la misma forma, se pueden caracterizar los seis tipos de enlaces que componen la CU. Los enlaces numerados con 1 verifican que $f_i \bmod NFCU = 0$, y $c_i \bmod NCCU = 1$; los numerados con 2 verifican que $f_i \bmod NFCU = 0$, y $c_i \bmod NCCU = 3$; los numerados con 3 verifican que $f_i \bmod NFCU = 1$, y $c_i \bmod NCCU = 0$; los numerados con 4 verifican que $f_i \bmod NFCU = 1$, y $c_i \bmod NCCU = 1$; los numerados con 5 verifican que $f_i \bmod NFCU = 0$, y $c_i \bmod NCCU = 3$; y los numerados con 6 verifican que $f_i \bmod NFCU = 3$, y $c_i \bmod NCCU = 3$. En la Tabla I, resumimos la caracterización de los sitios y enlaces de la CU de la red de kagome. Por lo tanto, la función módulo resuelve el problema de la distinción de los distintos tipos de sitios y enlaces que componen la CU, y que por ende también componen la red al ser esta obtenida por traslación repetida de la CU, tanto en dirección horizontal como vertical. Entonces, el etiquetado, la estructura de la CU, en conjunción con la función módulo, caracterizan el tipo de sitios y enlaces que componen la red.



CU(3,6,3,6)	s_1	s_2	s_3	b_1	b_2	b_3	b_4	b_5	b_6
f_i mód $NFCU$	0	0	2	0	0	1	1	3	3
c_i mód $NCCU$	0	2	0	1	3	0	1	0	3

Cuadro I. Caracterización de los sitios y enlaces de la CU de la red (3,6,3,6) mediante la función módulo.

3. Hoja de datos

Para completar la caracterización de los sitios y enlaces de la red de kagome o (3.6.3.6), presentamos en la Figura 14, una hoja de datos con la siguiente información:

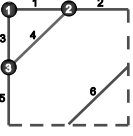
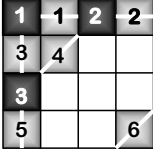
- **Tabla Superior.** Se muestra el tipo de vértice que da origen a la red, la CU estándar, y la CU alternativa propuesta en este trabajo.
- **Tablas inferiores.** Dado el i -ésimo sitio de la CU (s_i), los s_i y f en el rango 1NN son las f -coordenadas de los enlaces primeros vecinos de s_i , en el rango 2NN son las f -coordenadas de los sitios segundos vecinos de s_i ; análogamente, s_i y c en el rango 1NN son las c -coordenadas de los enlaces primeros vecinos de s_i , en el rango 2NN son las c -coordenadas de los sitios segundos vecinos de s_i ; 'f' se refiere a filas, y 'c' a columnas. Una explicación similar a la dada para el i -ésimo sitio, s_i , es válida para el i -ésimo enlace, e_i . los e_i y f en el rango 1NN son las f -coordenadas de los sitios primeros vecinos de e_i , en el rango 2NN son las f -coordenadas de los enlaces segundos vecinos de e_i ; análogamente, los e_i y c en el rango 1NN son las c -coordenadas de los sitios primeros vecinos de e_i , en el rango 2NN son las c -coordenadas de los enlaces segundos vecinos de e_i . Las coordenadas (f, c) de los primeros y segundos vecinos de un dado sitio (enlace), se miden respecto el sitio (enlace) en cuestión. También se muestran para la CU alternativa, el número de filas de la CU ($NFCU$), el número de columnas de la CU ($NCCU$), el número de sitios de la CU ($NsCU$), el número de enlaces de la CU ($NeCU$), área de la CU (ACU), el número de huecos de la CU ($NhCU$), y el grado de cada vértice de la red (Z).

Una hoja de datos similar se puede implementar para cada una de las redes Arquimedianas. Los vectores desplazamientos hacia los primeros y segundos vecinos de un dado sitio o enlace (f, c), son fundamentales para el recorrido de un cluster de sitios conectados, y la posterior determinación de la condición de percolación de la red.

IV. CURVAS DE FASE DE LAS REDES ARQUIMEDIANAS POR DEPOSICIÓN DE MONÓMEROS

A. Preliminares

En esta sección mostramos en detalle una manera de obtener las curvas de fase de cada una de las redes Arquimedianas a partir de la representación alternativa explicada en la sección anterior; lo haremos tomando como ejemplo la red de kagome o (3.6.3.6). Dado que la CU asociada a cada red Arquimediana es cuadrada o rectangular, podemos trasladar esta CU horizontalmente o verticalmente las veces que sea necesario, hasta lograr que las aristas de la red sean del tamaño deseado, logrando a su vez que la misma también sea cuadrangular o rectangular. En nuestro caso consideramos redes cuadrangulares. Para cualquiera de las redes Arquimedianas, trabajamos con aristas de tamaño 96, 192, 364, y 768 (todas múltiplos de 48!). Como vimos en la Sección IIIB, la cuadratura de cada una de las redes Arquimedianas, nos permite identificar o etiquetar a cada celda cuadrada que compone una red dada, con el par ordenado de números enteros (f_i, c_i), donde f_i es la i -ésima fila de la red contada de arriba hacia abajo, y c_i es la i -ésima columna de red contada de izquierda a derecha, como sucede cuando identificamos los elementos de una matriz de números en el sentido matemático (ver Tabla I). También, la caracterización de cada sitio y enlace de la misma lo hicimos tal como se describe en dicha sección.

(3.6.3.6)		
Tipo de Vértice	CU Estándar	CU Alternativo
 3.6.3.6		

Sitios										Enlaces													
Vecinos		1NN				2NN				Vecinos		1NN		2NN									
s	1	f	=	-1	0	+1	0	-2	0	+2	0	e	4	f	=	+1	-1	-1	0	+2	+2	-1	-2
s	1	c	=	0	-1	0	+1	0	-2	0	+2	e	4	c	=	-1	+1	0	-1	-2	-1	+2	+2
s	2	f	=	0	+1	0	-1	0	+2	0	-2	e	5	f	=	-1	+1	-2	0	+1	+2	+1	-2
s	2	c	=	-1	-1	+1	+1	-2	-2	+2	+2	e	5	c	=	0	0	0	-1	-1	0	+1	+1
s	3	f	=	-1	+1	+1	-1	-2	+2	+2	-2	e	6	f	=	+1	-1	+1	+2	+1	0	-2	-2
s	3	c	=	0	-1	0	+1	0	-2	0	+2	e	6	c	=	-1	+1	-2	-2	0	+1	+2	+1
Enlaces										Descripción de la CU Alternativa													
Vecinos		1NN		2NN						NFCU		4											
e	1	f	=	0	0	-1	0	+1	+1	0	-1	NCCU		4									
e	1	c	=	-1	+1	-1	-2	-1	0	+2	+2	NsCU		3									
e	2	f	=	0	0	-1	0	+1	+1	0	-1	NeCU		6									
e	2	c	=	-1	+1	0	-2	-2	+1	+2	+1	ACU		16									
e	3	f	=	-1	+1	-2	-1	+2	+2	0	-1	NhCU		7									
e	3	c	=	0	0	0	-1	-1	0	+1	+1	Z		4									

Figura 14. **Tabla Superior.** Se muestra el tipo de vértice que da origen a la red, la CU estándar, y la CU alternativa propuesta en este trabajo. **Tablas inferiores.** Dado el i -ésimo sitio de la CU (s_i), los $s_i f$ en el rango 1NN son las f -coordenadas de los enlaces primeros vecinos de s_i , en el rango 2NN son las f -coordenadas de los sitios segundos vecinos de s_i ; análogamente, $s_i c$ en el rango 1NN son las c -coordenadas de los enlaces primeros vecinos de s_i , en el rango 2NN son las c -coordenadas de los sitios segundos vecinos de s_i ; 'f' se refiere a filas, y 'c' a columnas.

Una explicación similar a la dada para el i -ésimo sitio, s_i , es válida para el i -ésimo enlace, e_i . los $e_i f$ en el rango 1NN son las f -coordenadas de los sitios primeros vecinos de e_i , en el rango 2NN son las f -coordenadas de los enlaces segundos vecinos de e_i ; análogamente, los $e_i c$ en el rango 1NN son las c -coordenadas de los sitios primeros vecinos de e_i , en el rango 2NN son las c -coordenadas de los enlaces segundos vecinos de e_i .

Las coordenadas (f,c) de los primeros y segundos vecinos de un dado sitio (enlace), se miden respecto el sitio (enlace) en cuestión. También se muestran para la CU alternativa, el número de filas de la CU (NFCU), el número de columnas de la CU (NCCU), el número de sitios de la CU (NsCU), el número de enlaces de la CU (NeCU), área de la CU (ACU), el número de huecos de la CU (NhCU), y el grado de cada vértice de la red (Z).

Utilizamos el lenguaje de programación C++ [22] en las simulaciones computacionales para la obtención de las curvas de fase.

B. Proceso de ocupación aleatoria de sitios y enlaces de las redes Arquimedianas

El llenado aleatorio de cada red hasta las concentraciones deseadas de sitios y enlaces, lo hicimos siguiendo los lineamientos descriptos por Efros et al [24].

Denotemos con G una grafo o red cualquiera, con $S(G)$ su conjunto de sitios, y con $B(G)$ su conjunto de enlaces. Asignamos aleatoriamente a cada sitio de S y a cada enlace B , un número entre cero (0) y uno (1). Llamamos $P = \{p_1, p_2, \dots\}$ al conjunto de números asignados a S , y $W = \{w_1, w_2, \dots\}$ al conjunto de números asignados a B . Si p es la probabilidad con la que queremos ocupar cada sitio de S , entonces todo i -ésimo sitio s_i de este, cuyo p_i asignado en P verifique la desigualdad $p_i \leq p$, será ocupado con probabilidad constante p . De la misma manera, si

w es la probabilidad con la que queremos ocupar cada enlace de B , todo j -ésimo enlace b_j de este, cuyo w_j asignado en W verifique la desigualdad $w_j \leq w$, será ocupado con probabilidad constante w .

C. Proceso de obtención de la curva de fase de la red (3.6.3.6)

1. Encapsulamiento de la hoja de datos de la red (3.6.3.6)

El núcleo del algoritmo utilizado para la obtención de la curva de fase lo constituye la clase `_3C6C3C6`. Esta consta esencialmente de dos partes. En su primera parte se almacenan los datos de la red obtenidos por visualización directa de la misma y de su CU, y además se obtienen otros datos auxiliares a través de su constructor `_3C6C3C6()`. La segunda parte esta constituida por los métodos o funciones, que manipulan los datos de la primera parte, para obtener la curva de fase.

En el Algoritmo 1, se muestra la primera parte de la clase `_3C6C3C6` en donde se encapsulan gran parte de los datos contenidos en la hoja de datos mostrada en la Figura 14. Los arreglos `NFR[]` y `NCR[]` contienen el número de filas, y el número de columnas de cada una de las redes consideradas, respectivamente. `NFCU` y `NCCU`, representan el número de filas, y el número de columnas de la CU, respectivamente. Mientras que `NsCU` y `NeCU`, representan el número de sitios y el número de enlaces contenidos en la CU, respectivamente. La variable 'enlaces_iterados', representa el número de probabilidades P_b con que se depositaron los enlaces en cada red considerada. `N_CUV[]`, y `N_CUH[]`, representan el número de CU que caben en una columna, y fila de la red, respectivamente, para cada tamaño de red considerado. `NUM_CELDAS[]` almacena el número total de CU contenido en la red, para cada tamaño de red considerado. El arreglo `paso_ITER_ENLACES[]`, almacena el paso con que irá cambiando la concentración de enlaces o la probabilidad de deposición de los enlaces, para cada tamaño de red considerado. `NUM_ENLACES[]` y `NUM_SITIOS[]`, almacena el número total de enlaces, y de sitios de la red, para cada tamaño de red considerado.

2. Funciones o métodos que componen la clase `_3C6C3C6`

En el Algoritmo 2, se muestra la segunda parte de la cual está compuesta la clase `_3C6C3C6`. Todos los métodos o funciones que la componen están realizadas de tal manera que, el conjunto de parámetros introducido a través de sus argumentos, es lo único que necesita para su funcionamiento. Lo que hace cada función está descrito en el algoritmo con texto de color magenta. En las subsecciones siguientes describiremos cómo hacen su trabajo las funciones principales del algoritmo.

3. Funciones `llenoSitiosRed(...)`, `llenoEnlacesRed(...)`, y `llenoRed(...)`

`llenoSitiosRed()`: Como su propio nombre lo sugiere, esta función ocupa con monómeros los sitios de la *Red* con probabilidad `cubriS`. Identificado un sitio (f, c) de la red, este será ocupado, $Red(f, c) = 1$, si se verifica la desigualdad, $V(f, c) \leq cubriS$, sino se mantiene desocupado, $Red(f, c) = 0$. Los tres tipo de sitios que componen la red, s_i , se identifican por las condiciones que deben cumplir sus coordenadas (f, c) respecto de la función módulo, tal como se muestra en la Tabla I.

`llenoEnlacesRed()`: Como su propio nombre lo sugiere, esta función ocupa con monómeros los enlaces de la *Red* con probabilidad `cubriE`. Identificado un enlace (f, c) de la red, este será ocupado, $Red(f, c) = 1$, si se verifica la desigualdad, $V(f, c) \leq cubriE$, sino se mantiene desocupado, $Red(f, c) = 0$. Los seis tipo de enlaces que componen la red, b_i , se identifican por las condiciones que deben cumplir sus coordenadas (f, c) respecto de la función módulo, tal como se muestra en la Tabla I.

`llenoRed()`: Esta función ocupa los sitios de la red con probabilidad `cubriS`, y los enlaces de la red con probabilidad `cubriE`. Hace uso directo de las funciones `llenoSitiosRed()`, y `llenoEnlacesRed()`.

4. Función `Ps_IM(...)`

El Algoritmo 3, muestra el algoritmo de bisección seguido por la función `Ps_IM()` para determinar la probabilidad de Hammersley para una dada concentración de enlaces P_b , dentro de una precisión dada por la variable `PRECISION`. Este algoritmo es el mismo que se utiliza para encontrar las raíces de una función $f(x)$ dentro del intervalo $[a, b]$.

5. Función *Psi(...)*

El Algoritmo 4 muestra como se implementa la función *Psi()* para encontrar un promedio de la probabilidad de Hammersley para una dada concentración de enlaces P_b . NRP es el número de redes promediadas para obtener tal promedio, el cual es también el número de veces que se actualiza la matriz, V , con números pertenecientes al intervalo $[0, 1]$. Es decir, el promedio de la probabilidad de Hammersley, surge de considerar NRP configuraciones de la concentración P_b de enlaces depositados. Al actualizar aleatoriamente los valores de V , también las configuraciones de sitios ocupados se actualizan.

6. Función *PsPromYESTD(...)*

El Algoritmo 5 muestra cómo se implementa la función *PsPromYESTD()* para encontrar el valor final de la probabilidad de Hammersley con su error estándar ESTD, para una dada concentración de enlaces P_b . NPsi es el número de *Psi()* almacenados en el arreglo *psi[]*, que luego será usado para encontrar el valor final de la probabilidad de Hammersley, *Ps_prom*, con su respectivo error estándar ESTD.

7. Función *main()*

El Algoritmo 6 muestra cómo se implementó la función *main()* para encontrar el valor final de la probabilidad de Hammersley *PsProm* con su error estándar ESTD, para cada una de las concentraciones de enlaces P_b consideradas, y para cada uno de los tamaños de red considerados. El proceso es como sigue:

1. **MiGenRan gen**; La variable **gen** es una instancia de la clase **MiGenRan** la cual define un generador random C++. **gen** acepta en su argumento una semilla la cual en este trabajo tomamos como la hora en segundos, contados a partir de 1970. La semilla se mantiene constante durante toda la ejecución de este algoritmo.
2. **_3C63C6 R**; Define la instancia **R** de la clase **_3C63C6**.
3. **MODELO** es la variable mediante la cual se especifica el modelo a simular. Especificamos el modelo $S \cup B$ mediante la asignación **MODELO = 'OR'**; y el modelo $S \cap B$ mediante la asignación **MODELO = 'AND'**; Si **MODELO = 'OR'**, entonces **ks_max = R.n12s** y **ke_max = R.n12e**; sino si **MODELO = 'AND'**, entonces **ks_max = R.n1s** y **ke_max = R.n1e**. Recordemos que las variables **n12s**, **n12e**, **n1s**, y **n1e**, se definen en la clase **_3C63C6**. **n12s** es el número de primeros vecinos más el número de segundos vecinos de un dado sitio; **n12e** es el número de primeros vecinos más el número de segundos vecinos de un dado enlace; **n1s** es el número de primeros vecinos de un dado sitio y, **n1e** es el número de primeros vecinos de un dado enlace. Por lo tanto, consideramos al modelo $S \cup B$ como una interacción hasta segundos vecinos de sitios y enlaces; mientras que al modelo $S \cap B$ lo consideramos como una interacción entre primeros vecinos de sitios y enlaces.
4. **AbreArchivo()**; Esta función abre un archivo de datos cuyo nombre se define como una variable global del programa. El archivo almacenará los tamaños de red considerados, y los umbrales críticos de sitios para cada concentración de enlaces considerada. En la siguiente sección mostramos su estructura.
5. **PsProm** y **ESTD**. **PsProm** es un doble promedio de los umbrales críticos de sitios, para un dado tamaño de red, y para una concentración de enlaces dada. **ESTD** es el error estándar con que se mide **PsProm**.
6. **iter_red** itera sobre el número de tamaños de aristas de red considerados. En este trabajo iteramos sobre cuatro tamaños de aristas, que son: 96, 192, 384 y 768.
7. **nfr** y **ncr** representan el número de filas y columnas de la red considerada, respectivamente; **nS** y **nE** representan el número de sitios y enlaces de la red considerada, respectivamente; **pasoE** es el paso con que se itera la concentración de enlaces P_b , hasta cubrir el número de enlaces de la red, **nE**.
8. Según la red Arquimediana considerada, y el modelo de interacción considerado ($S \cup B$ o $S \cap B$), puede ser necesario redefinir los bordes de la red. Se necesitan cuatro variables para definir los bordes de una red, dos para los bordes horizontales, y dos para los bordes verticales.
9. **iter_pb** itera sobre todas las concentraciones de enlaces P_b consideradas, las cuales están definidas por la variable **'enlaces_iterados'** en la clase **_3C63C6**.

10. **R.PsPromYESTD()** devuelve el umbral crítico de sitios **PsProm** y su error estándar **ESTD**, para cada tamaño de red y concentración de enlaces P_b considerados, los cuales se irán almacenando en el archivo de datos abierto en el ítem 4.

Algoritmo 1 Primera parte de la clase **_3C6C3C6** que muestra el encapsulamiento de los datos contenidos en la hoja de datos de la red. Donde: $n1s$ =número de primeros vecinos de un sitio; $n2s$ =número de segundos vecinos de un sitio; $n12s=n1s+n2s$; $n1e$ =número de primeros vecinos de un enlace; $n2e$ =número de segundos vecinos de un enlace; $n12e=n1e+n2e$. En un arreglo cualquiera $s1f[]$ o $s1c[]$, los primeros $n1s$ elementos son primeros vecinos, y los $n2s$ restantes son segundos vecinos. Similarmente, en un arreglo cualquiera $e1f[]$ o $e1c[]$, los primeros $n1e$ elementos son primeros vecinos, y los $n2e$ restantes son segundos vecinos.

```
class _3C6C3C6 {
public:
// Primeros y segundos vecinos de los sitios que componen la celda unidad.
static const int n1s=4, n2s=4, n12s=n1s+n2s;
int s1_f[n12s]= { -1, 0, +1, 0,    -2, 0, +2, 0 };
int s1_c[n12s]= { 0, -1, 0, +1,    0, -2, 0, +2 };
int s2_f[n12s]= { 0, +1, 0, -1,    0, +2, 0, -2 };
int s2_c[n12s]= { -1, -1, +1, +1,   -2, -2, +2, +2 };
int s3_f[n12s]= { -1, +1, +1, -1,   -2, +2, +2, -2 };
int s3_c[n12s]= { 0, -1, 0, +1,    0, -2, 0, +2 };
// Primeros y segundos vecinos de los enlaces que componen la celda unidad.
static const int n1e=2, n2e=6, n12e=n1e+n2e;
int e1_f[n12e]= { 0, 0,    -1, 0, +1, +1, 0, -1 };
int e1_c[n12e]= { -1, +1,   -1, -2, -1, 0, +2, +2 };
int e2_f[n12e]= { 0, 0,    -1, 0, +1, +1, 0, -1 };
int e2_c[n12e]= { -1, +1,   0, -2, -2, +1, +2, +1 };
int e3_f[n12e]= { -1, +1,   -2, -1, +2, +2, 0, -1 };
int e3_c[n12e]= { 0, 0,    0, -1, -1, 0, +1, +1 };
int e4_f[n12e]= { +1, -1,   -1, 0, +2, +2, -1, -2 };
int e4_c[n12e]= { -1, +1,   0, -1, -2, -1, +2, +2 };
int e5_f[n12e]= { -1, +1,   -2, 0, +1, +2, +1, -2 };
int e5_c[n12e]= { 0, 0,    0, -1, -1, 0, +1, +1 };
int e6_f[n12e]= { +1, -1,   +1, +2, +1, 0, -2, -2 };
int e6_c[n12e]= { -1, +1,   -2, -2, 0, +1, +2, +1 };
public: static const int NUMREDES = 4;
int NFR[NUMREDES] = {96, 192, 384, 768}, NCR[NUMREDES] = {96, 192, 384, 768};
int NFCU=4, NCCU=4, NsCU=3, NeCU=6, enlaces_iterados = 48;
// Otras variables
int NCUV[NUMREDES], NCUH[NUMREDES];
int NUM_CELDAS[NUMREDES], pasoITER_ENLACES[NUMREDES];
int NUM_ENLACES[NUMREDES], NUM_SITIOS[NUMREDES];
// Constructor
_3C6C3C6() { InicializoArreglosDatosRedes(); }
// Segunda parte no mostrada.
.
.
.
}
```

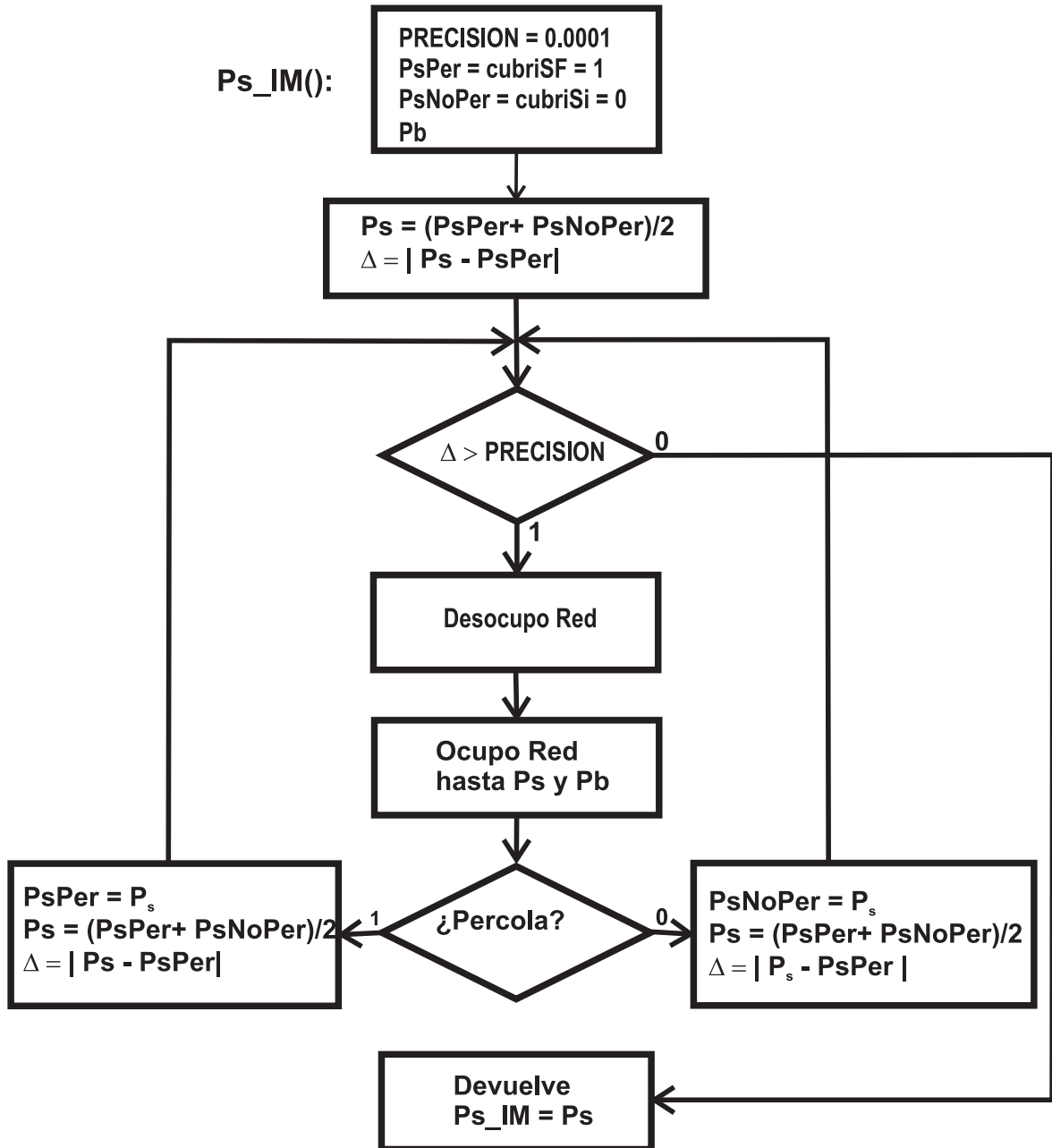
Algoritmo 2 Funciones que componen la segunda parte de la clase `_3C6C3C6`.

```

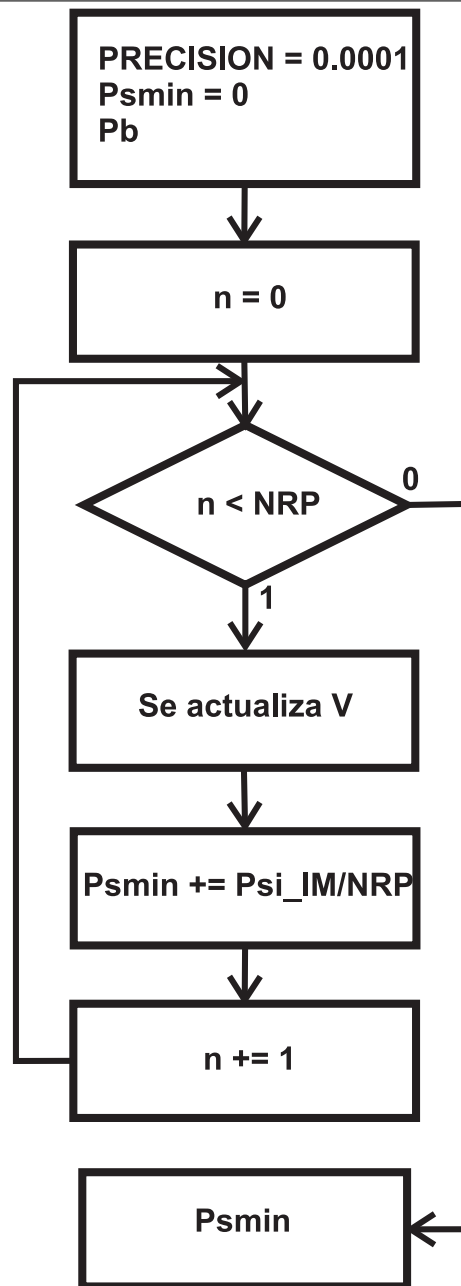
class _3C6C3C6 {
public:
// Primera parte no mostrada
.
.
.
// Segunda parte
// Obtiene datos auxiliares de la primera parte:
void InicializoArreglosDatosRedes();
// Ocupa los sitios de la Red con probabilidad cubriS:
void llenoSitiosRed (double** V, bool** Red, double cubriS, int NFR, int NCR, int NFCU, int NCCU);
// Ocupa los enlaces de la Red con probabilidad cubriE:
void llenoEnlacesRed(double** V, bool** Red, double cubriE, int NFR, int NCR, int NFCU, int NCCU);
// Ocupa los sitios y enlaces de la Red con probabilidad cubriE y cubriS, respectivamente:
void llenoRed (double** V, bool** Red, double cubriE, double cubriS, int NFR, int NCR, int NFCU, int NCCU);
// Verifica que el sitio o enlace (fil,col) de la red esté ocupado, que no haya sido visitado,
// y que sus coordenadas no desborden la red. Devuelve 1 si todas estas condiciones se verifican :
bool DesbordeOcupadoVisitado (bool** M,int fil,int col, bool** visited,int NFR,int NCR);
// Recorre todos los sitios y enlaces ocupados de un dado cluster, a partir un nodo raíz dado por
// la función percoRightDown_CCA (). Si el sitio o enlace (fil,col) pertenece al borde superior
// hará flagfil1=true, y si pertenece al borde inferior hará flagfil2=true. Similarmente,
// si el sitio o enlace (fil,col) pertenece al borde izquierdo hará flagcol1=true,
// y si pertenece al borde derecho hará flagcol2=true:
void DFS_CCA_conflag (bool** M, int row, int col, bool** visited, int NFR, int NCR, bool &flagfil1, bool &flagfil2, bool
&flagcol1, bool &flagcol2, int n12s, int n12e);
// Auxilia a DFS_CCA_conflag() en la compresión del código:
void auxiliar (bool** M,bool** visited,int row,int col, int NFR,int NCR,int ks_max, int ke_max, bool &flagfil1,bool &flagfil2,
bool &flagcol1,
bool &flagcol2, int bordefil1,int bordefil2, int bordecoll,int bordecoll2, int* soe_f, int* soe_c,int ksoe_max);
// Detecta en la Red un primer sitio o enlace ocupado (nodo raíz), y se lo pasa a DFS_CCA_conflag().
// Luego cuando esta última haya recorrido todo el cluster, chequea si la red ha percolado revisando los valores
// de flagfil1, flagfil2, flagcol1, flagcol2. Si la Red percola hace pr=1 o pd=1, entregando luego el control al resto del programa,
// sino busca otro nodo raíz:
void percoRightDown_CCA (bool** M,int bordefil1,int bordefil2, int bordecoll,int bordecoll2, int NFR,int NCR,int &pr,int
&pd, int ks_max, int ke_max);
// Para un dado Pb, devuelve la probabilidad de Hammersley Ps por el método del semi intervalo:
double Ps_IM (double** V,bool** Red,double Pb, double cubriSi, double cubriSf, double PRECISION, int nfr, int ncr, int
NFCU, int NCCU,
int bordefil1,int bordefil2, int bordecoll,int bordecoll2, int ks_max, int ke_max);
// Para una dada probabilidad Pb, encuentra un valor promedio de la probabilidad de Hammersley, Ps
// para la cual la red percola en alguna dirección:
double Psi (MiGenRan& gen, double Pb, double cubriSi, double cubriSf, double PRECISION, int nfr, int ncr, int NFCU, int
NCCU, int bordefil1,
int bordefil2, int bordecoll,int bordecoll2, int ks_max, int ke_max);
// Para una dada probabilidad Pb, encuentra el valor promedio PsProm, de los ya promediados valores devueltos
// por Psi(), con su error estándar ESTD:
void PsPromYESTD (MiGenRan& gen,double Pb,double cubriSi, double cubriSf,double PRECISION,int nfr, int ncr,int NF-
CU,int NCCU, int bordefil1,
int bordefil2, int bordecoll,int bordecoll2, int ks_max, int ke_max, int NumPsi,double& PsProm, double& ESTD);
};

```

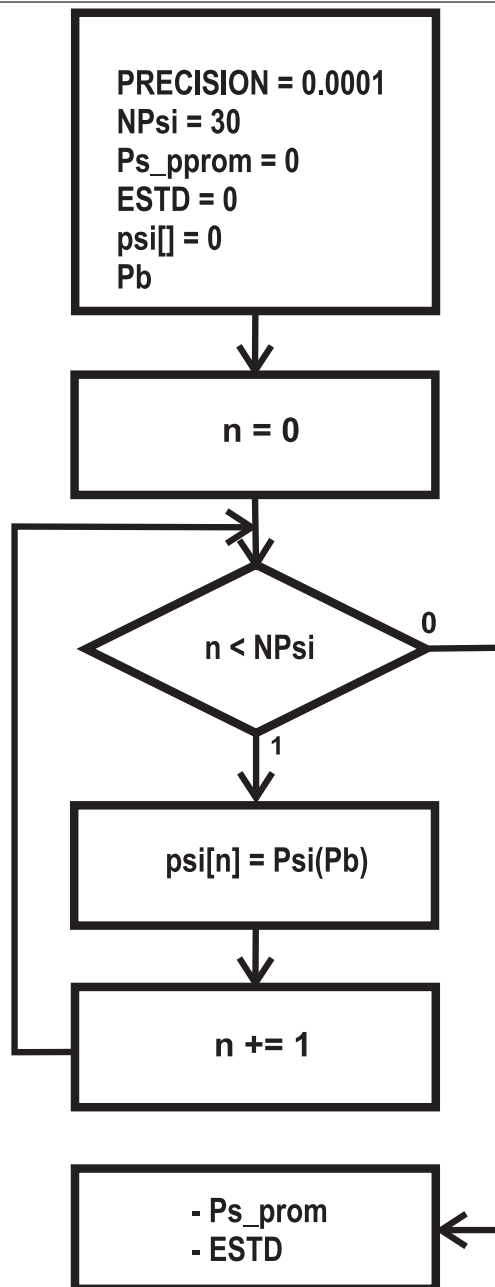
Algoritmo 3 Algoritmo de bisección seguido por la función $P_s_IM()$ para determinar la probabilidad de Hammersley para una dada concentración de enlaces P_b , dentro de una precisión dada por la variable PRECISION.



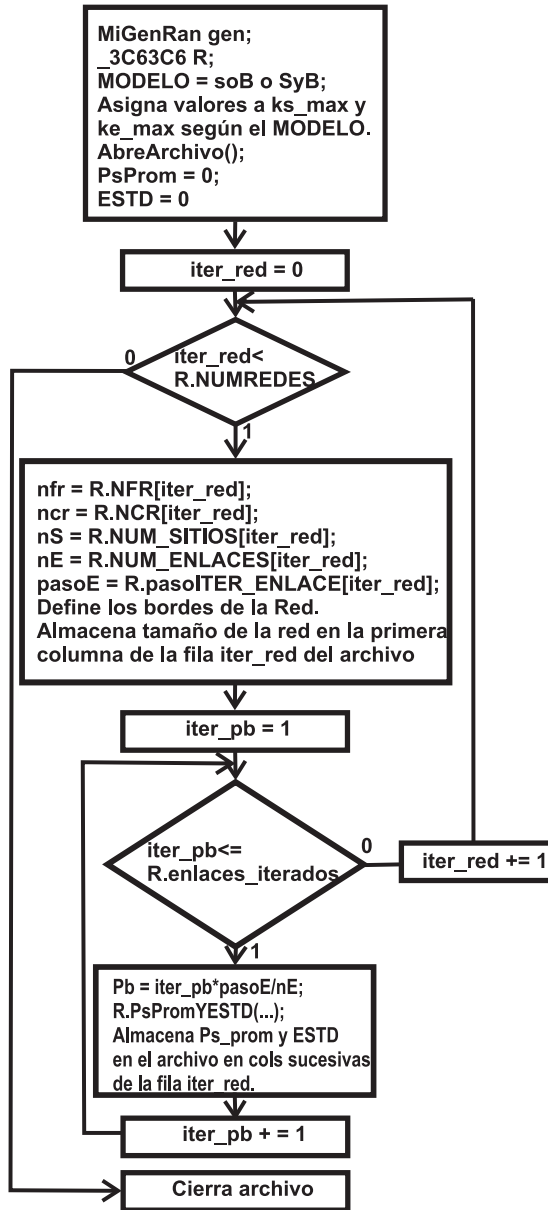
Algoritmo 4 Algoritmo que usa la función $\Psi()$ para encontrar un promedio de la probabilidad de Hammersley. NRP es el número de redes promediadas, el cual es también el número de veces que se actualiza la matriz, V , con números pertenecientes al intervalo $[0,1]$.



Algoritmo 5 Algoritmo que usa la función PsPromYESTD() para encontrar el valor final de la probabilidad de Hammersley con su error estándar ESTD, para una dada concentración de enlaces Pb. NPsi es el número de Psi() almacenados en el arreglo psi[], que luego será usado para encontrar el valor final de la probabilidad de Hammersley, Ps_prom, con su respectivo error estándar ESTD.



Algoritmo 6 Algoritmo implementado en la función `main()` para encontrar el valor final de la probabilidad de Hammersley con su error estándar *ESTD*, para cada una de las concentraciones de enlaces P_b y para cada uno de los tamaños de red considerados.



D. Estructura de los datos obtenidos por `main()` para la red (3.6.6.3) en el modelo SUB

En la Tabla II se muestra un extracto del archivo de datos obtenido por la función `main()` a partir del algoritmo 6 utilizado para obtener $P_s(L, P_b)$ y *ESTD*, para cada tamaño de arista L , y para cada P_b considerado respecto de la red (3,6,3,6). La primera y última fila se han agregado aquí para clarificar la estructura del archivo. Como se ve desde la última fila de esta tabla solo se muestran los $P_{s,c}(L, P_b)$ y *ESTD*, correspondientes a los primeros seis valores de P_b , de un total de 49 valores considerados. Como se observa en cada columna $P_{s,c}(L, P_b)$, sus valores dependen del tamaño de la red.

L	P _{s,c}	ESTD										
96	0.6382	1.4E-4	0.6384	2.9E-4	0.6373	3.8E-4	0.6358	4.4E-4	0.6353	4.8E-4	0.6289	5.0E-4
192	0.644	4.6E-4	0.6438	4.6E-4	0.6426	4.6E-4	0.6420	4.7E-4	0.6388	4.7E-4	0.6352	4.6E-4
384	0.6479	4.5E-4	0.6473	4.5E-4	0.6463	4.5E-4	0.6448	4.6E-4	0.6422	4.5E-4	0.6386	4.5E-4
768	0.6500	4.5E-4	0.6496	4.5E-4	0.6482	4.5E-4	0.6468	4.5E-4	0.6443	4.5E-4	0.6405	4.5E-4
P _b	0/48		1/48		2/48		3/48		4/48		5/48	

Cuadro II. Las filas etiquetadas con los tamaños de red 96, 192, 384, y 768, constituyen un extracto del archivo de datos obtenido por la función main() a partir del algoritmo 6 utilizado para obtener P_s y ESTD, para cada tamaño de red y para cada P_b considerado. La primera y última fila se han agregado aquí para clarificar la estructura del archivo. Como se ve en la última fila, en esta tabla solo se muestran los P_{s,c} y ESTD, correspondientes a los primeros seis valores de P_b, de un total de 49 valores considerados.

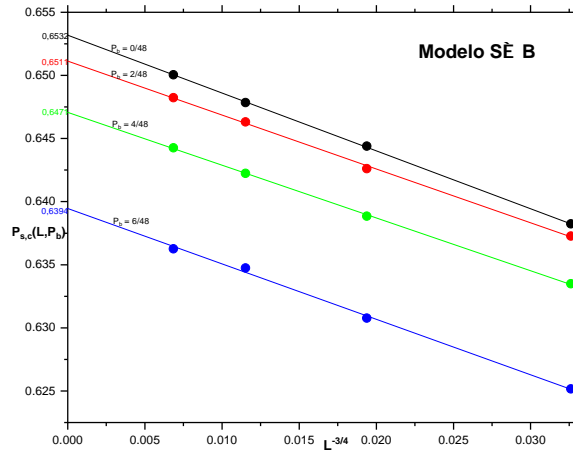


Figura 15. Ejemplo de escaleo de los $P_{s,c}(L, P_b)$ para cuatro valores distintos de P_b , para la red (3.6.3.6), modelo $S \cup B$.

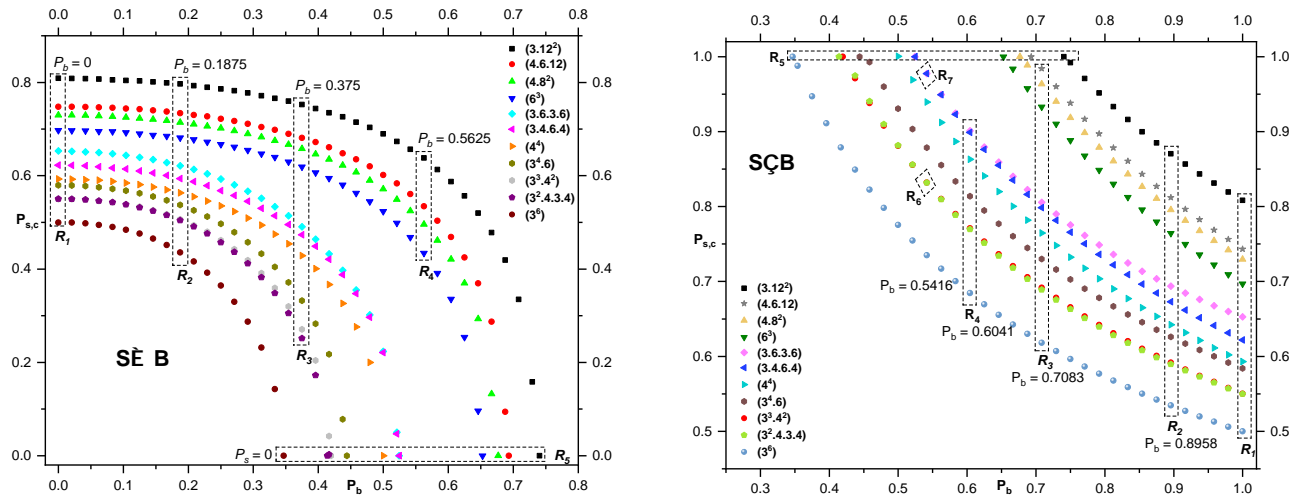
E. Escaleo de los $P_{s,c}$ hacia $L \rightarrow \infty$: Curvas de fase

Una vez obtenidos los $P_{s,c}(L, P_b)$, como los mostrados en la Tabla II para la red (3,6,3,6), lo que resta es extrapolar los resultados en cada columna $P_{s,c}(L, P_b)$ hacia el límite termodinámico $L \rightarrow \infty$, lo cual se hace con la relación de escaleo[25]

$$P_{s,c}(L, P_b) = P_{s,c}^{\infty}(P_b) + AL^{-1/\nu} \quad (4)$$

donde $P_{s,c}^{\infty}(P_b) = \lim_{L \rightarrow \infty} P_{s,c}(L, P_b)$, A es una constante no universal, y $\nu = 4/3$ es un exponente crítico exacto de la percolación estándar bidimensional. Esta ecuación surge de la hipótesis de escaleo para la longitud de correlación $\xi \propto |P_s - P_{s,c}|^{-\nu}$ [25]. Para $P_s \rightarrow P_{s,c}$ tenemos que $\xi \rightarrow L$, con lo cual $L \propto |P_s - P_{s,c}|^{-\nu}$ desde la cual surge la Ecuación 4.

En la Figura 15 mostramos a modo de ejemplo, el escaleo de los $P_{s,c}(L, P_b)$ para cuatro valores distintos de P_b para la red (3,6,3,6), modelo $S \cup B$. En el límite termodinámico, $L \rightarrow \infty$, la ordenada al origen nos da $P_{s,c}^{\infty}(P_b)$. El conjunto de los pares ordenados $(P_b, P_{s,c}^{\infty}(P_b))_{0 < P_b < 1}$ es lo que se conoce como *curva de fase* de la red, habiendo una para el modelo $S \cup B$ y otra para el modelo $S \cap B$ las cuales son complementarias.



(a) Curvas de fase de las redes Arquimedianas, modelo $S \cup B$. (b) Curvas de fase de las redes Arquimedianas, modelo $S \cap B$.

Figura 16. Curvas de fase de las redes Arquimedianas, modelos $S \cup B$ y $S \cap B$.

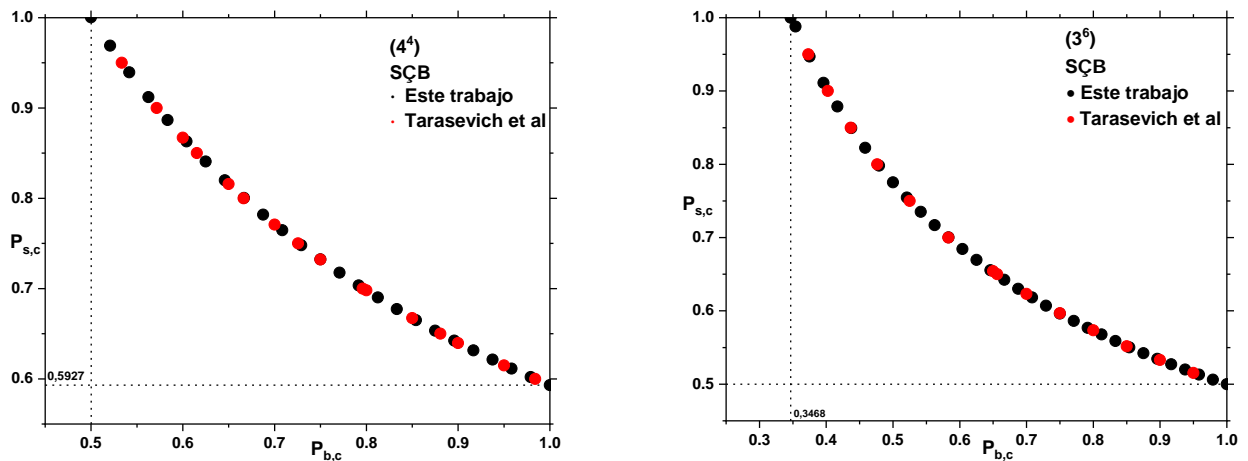


Figura 17. Comparación gráfica entre los resultados numéricos obtenidos en esta tesis, con resultados numéricos obtenidos por Tarasevich et al [16] para las redes (4^4) y (3^6) , respectivamente bajo el modelo $S \cap B$.

V. CURVAS DE FASE: VALIDACIÓN DEL PROCESO DE OBTENCIÓN DE LAS MISMAS

A. Preliminares

En la Figura 16 se muestran las curvas de fase de todas las redes Arquimedianas, para ambos modelos, obtenidas con el algoritmo descrito en las secciones anteriores.

B. Validación del proceso de simulación

En los gráficos expuestos en la Figura 17, hasta la Figura 20, se comparan los resultados numéricos obtenidos en este trabajo, a partir del algoritmo de simulación mostrado en secciones anteriores, con resultados de simulaciones realizadas por Tarasevich et al [16], y Gonzalez et al [2]. Aún cuando el conjunto usado de concentraciones de enlaces de los distintos autores, no es coincidente con el usado en nuestro trabajo, se observa claramente la compatibilidad gráfica de los resultados numéricos de nuestras simulaciones, con los resultados numéricos obtenidos por ellos.

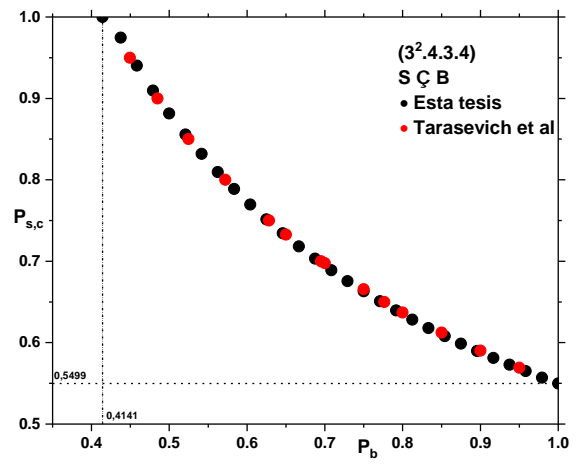
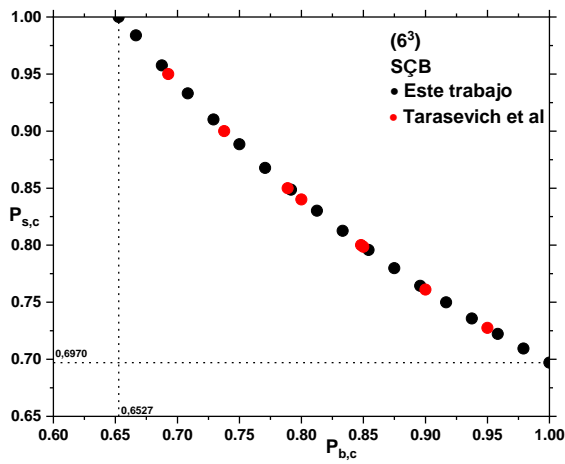


Figura 18. Comparación gráfica entre los resultados numéricos obtenidos en esta tesis, con resultados numéricos obtenidos por Tarasevich et al [16] para las redes (6^3) y $(3^2,4,3,4)$, respectivamente, bajo el modelo $S \cap B$.

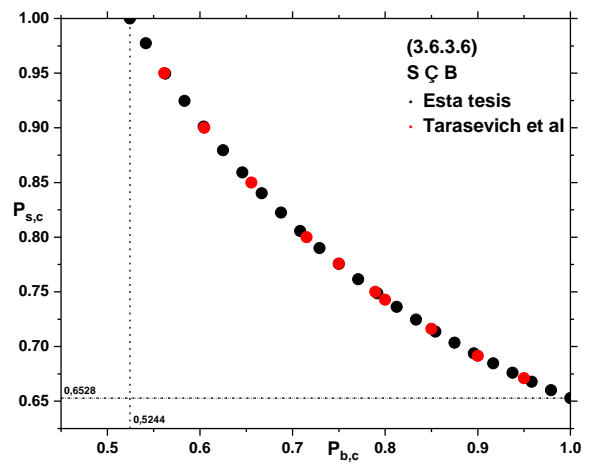
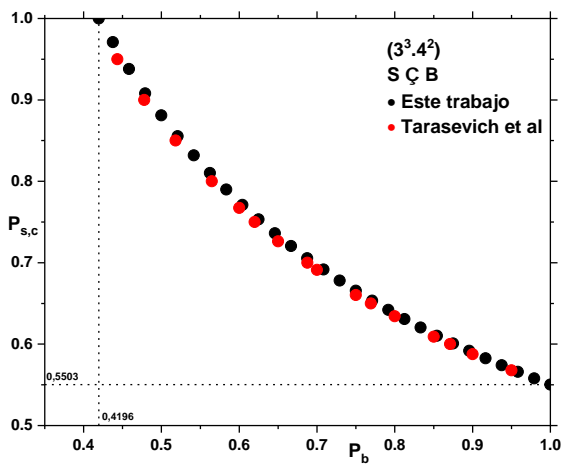


Figura 19. Comparación gráfica entre los resultados numéricos obtenidos en esta tesis, con resultados numéricos obtenidos por Tarasevich et al [16] para las redes $(3^3,4^2)$ y $(3,6,3,6)$, respectivamente, bajo el modelo $S \cap B$.

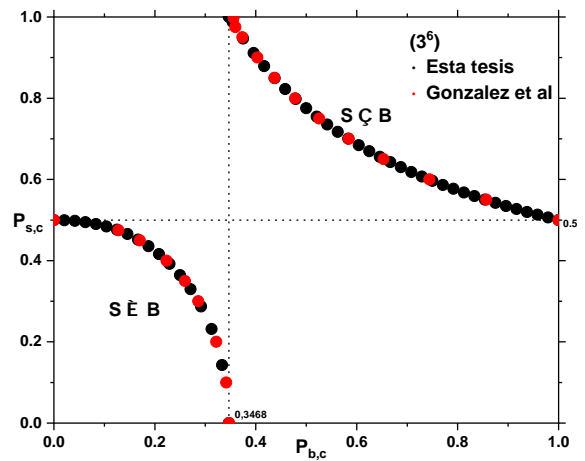
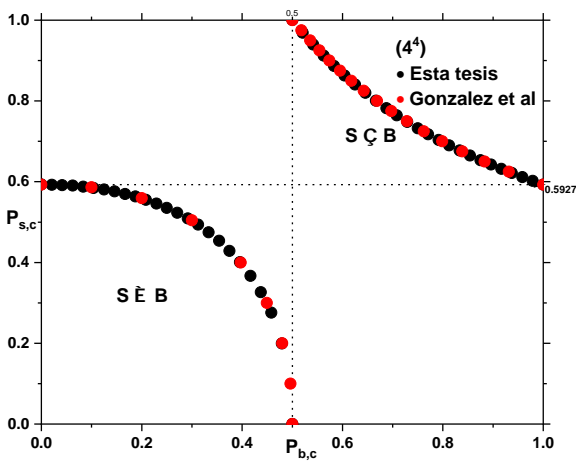


Figura 20. Comparación gráfica entre los resultados numéricos obtenidos en esta tesis, con resultados numéricos obtenidos por Gonzalez et al [2] para las redes (4^4) y (3^6) , respectivamente, bajo los modelos $S \cap B$ y $S \cup B$.

VI. ANÁLISIS DE LAS CURVAS DE FASE DEL MODELO $S \cup B$

A. Introducción

En la Figura 16(a) se muestran las curvas de fase $(P_b, P_{s,c}(P_b))$ de todas las redes Arquimedianas, para el modelo $S \cup B$, que luego describiremos.

Un grafo G1 se considera incluido en un grafo G2, si se demuestra que G1 es un subgrafo de G2. Al ser las redes Arquimedianas grafos planares, cada una tiene un grafo dual también planar. La red cuadrada es auto dual, y las redes triangular y hexagonal son grafos duales entre si. Las restantes 8 redes Arquimedianas tienen grafos duales que no son Arquimedianas, llamadas redes de Laves .

Parviainen R. et al[26], encontraron relaciones de inclusión como la establecida en el párrafo anterior, para cada par de grafos pertenecientes al conjunto formado por las 11 redes Arquimedianas, y las 8 redes de Laves. Así, ellos determinaron el ordenamiento parcial total por inclusión de los 19 grafos periódicos de tamaño infinito, resumiendo sus resultados en la forma de un diagrama de Hasse [26]. El interés de los autores de este trabajo en el ordenamiento por inclusión de las redes, fue motivado por el hecho de que las *probabilidades críticas* para el problema de percolación pura de sitios (enlaces), las *constantes de tiempo* en el problema de percolación de primer paso, o bien las *constantes de conectividad* en el problema de caminatas auto evitantes, también se ordenan según como lo hagan las redes en el ordenamiento por inclusión. Si H es un subgrafo de G, las probabilidades críticas y la constante de tiempo, son mayores para H que para G, y la constante de conectividad es menor para H que para G. Por lo tanto, el conocimiento del orden por inclusión de los subgrafos permite el uso de valores exactos o cotas conocidas de alguno de los tres parámetros antes mencionados, para ciertos grafos o redes, como medio de obtención de cotas para el mismo parámetro, para otros grafos o redes. Nosotros en este trabajo solo nos focalizamos en un análisis de inclusión que solo implica a las redes Arquimedianas, como veremos luego en la siguiente sección.

Por otra parte, En un trabajo publicado por John C. Wierman [27] el autor hizo notar que en las estimaciones de las probabilidades críticas de percolación pura de sitios y enlaces, las cuales constaban en la literatura de la física del momento (2001), solo había un par de grafos o redes para el que las estimaciones de sus probabilidades críticas de percolación pura de sitios y enlaces estaban en orden opuestos. Si G y H son dos grafos, lo que casi siempre se observaba era que:

Si $P_{s,c}^G > P_{s,c}^H$ entonces $P_{b,c}^G > P_{b,c}^H$

La única excepción a la regla la producían la red triangular y la red del diamante:

$P_{s,c}^{\text{Triángular}} = 0,5 > P_{s,c}^{\text{Diamante}} \approx 0,4299$ pero $P_{b,c}^{\text{Triángular}} \approx 0,3473 < P_{b,c}^{\text{Diamante}} \approx 0,3886$

John C. Wierman se ocupó de probar en su trabajo [27] que estas excepciones a la regla podían ocurrir. Lo hizo diseñando un proceso de construcción de nuevas redes, con el cual podía generar una colección infinita de grafos de dimensión $d \geq 2$ con esta propiedad excepcional. Ahora bien, la excepción observada por Wierman para el par conformado por las redes triangular y diamante, puede ser también observada para el par conformado por las redes (3,6,3,6) y (3,4,6,4), y para el par de redes $(3^3, 4^2)$ y $(3^2, 4, 3, 4)$, como veremos en una sección posterior. Sin la luz provista por una generalización del modelo de percolación pura sitios y enlaces, tal como lo constituyen los modelos $S \cup B$ y $S \cap B$, es difícil visualizar las razones de estas excepciones. Como veremos luego, estas excepciones son consecuencia del cruce entre las curvas de fase de las redes correspondientes. El cruce entre las curvas de fase, hace natural la inversión de las desigualdades observadas, al pasar de la región de percolación pura de sitios, a la región de percolación pura de enlaces, siendo ambas regiones dibujada por el conjunto de las curvas de fase de las redes Arquimedianas.

B. Inclusiones entre redes Arquimedianas y nuevas CU con solo tres direcciones de enlaces

En este trabajo, como corolario del diagrama de Hasse presentado por Parviainen R. et al [26], reproducimos en forma algo distinta, la porción del mismo que solo incluye las relaciones de inclusión parcial y total entre las redes Arquimedianas, tal como se muestra en La Figura 21. Algunas observaciones acerca de este ordenamiento parcial por inclusión de las redes Arquimedianas:

1. De las 11 redes, (6^3) , $(4,8^2)$, $(4,6,12)$ y $(3,12^2)$ son elementos maximales. Es decir, que si H es cualquiera de los elementos maximales, y este es un subgrafo de G, entonces no hay otro subgrafo H' de G tal que H esté contenido en H'.
2. El tamaño de la cadena mas grande (redes unidas por enlaces) es 4, habiendo 10 cadenas distintas de ese tamaño. Por ejemplo la cadena formada por las redes $(3,12^2)$, $(3,4,6,4)$, $(3^3, 4^2)$, y (3^6) .

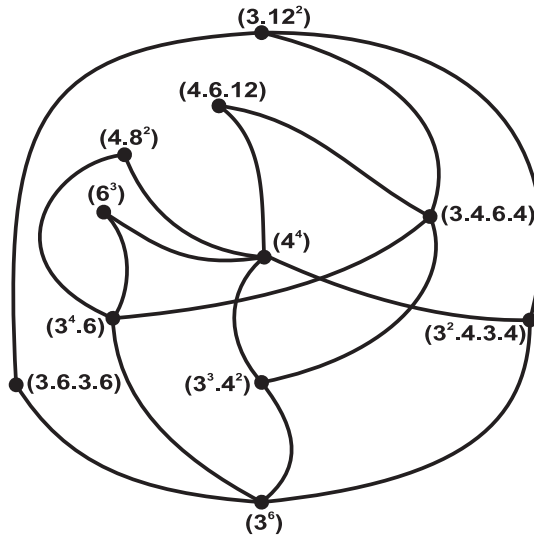


Figura 21. Diagrama de Hasse del ordenamiento por inclusión de las 11 redes Arquimedianas. Las líneas negras son enlaces, los cuales representan relaciones de cobertura o inclusión entre pares de redes Arquimedianas. Si la red H , está por encima de otra red G en el diagrama, significa que H está incluida en G , o bien que H es un subgrafo de G , siempre que ambas estén unidas por un enlace.

3. La anticadena mas grande (redes no unidas entre si por enlaces) es de tamaño 4 y hay varias de ellas. Por ejemplo la compuesta por las redes $(3,12^2)$, $(4,6,12)$, $(4,8^2)$, y (6^3) .
4. Se necesitan 4 cuatro cadenas (no señaladas aquí), para que el resultado de la unión de ellas sea el conjunto parcialmente ordenado compuesto por las 11 redes Arquimedianas. Por el Teorema de Dilworth [28] el tamaño de la anticadena más grande es 4, como fue mencionado en el ítem anterior.
5. Todas las redes Arquimedianas están incluidas en la red triangular (3^6) . En las Figuras 5, y 10, mostramos la representación tradicional y alternativa de la celda unidad (CU) de esta red; como se observa, ambas representaciones utilizan tres direcciones de enlaces distintas para su construcción. Por ende, para la construcción de todas las restantes redes Arquimedianas, solo necesitamos tres direcciones de enlaces distintas, las mismas que utilizemos para la red triangular.
6. En las Figuras que van desde la Figura 22, hasta la Figura 24, mostramos las CU alternativas de cada una de las redes Arquimedianas, para una elección particular de las tres direcciones de enlaces utilizados para la red triangular, a saber 0, 90, y 135 grados medidos desde la horizontal. El mínimo común múltiplo (MCM) de todos los tamaños de aristas implicados en las distintas CU es ahora 336. Es decir, en un cuadrículado de aristas de tamaño 336 o múltiplos de este número, cualquiera de las CU de las respectivas redes Arquimedianas, cabe un número entero de veces. Si descartamos la CU de la red $(3^4, 6)$, de tamaño 14×14 , el $MCM = 48$. Además, todas las redes Arquimedianas pueden construirse trasladando horizontalmente y verticalmente su respectiva CU.
7. Similar a lo dicho en la Sección III A, para el caso de CU alternativas construidas con cuatro direcciones de enlaces distintas, cada sitio y enlace de una red dada, puede etiquetarse con un par ordenado de números enteros, y ser caracterizado mediante la función módulo. Por otra parte, a igual tamaño de red, el conjunto de todos los sitios y enlaces que definen una red dada, pueden ser etiquetados y caracterizados por el mismo conjunto o subconjunto de pares ordenados utilizados para etiquetar y caracterizar los sitios y enlaces de la red triangular.
8. En función de lo observado en los ítems 5, 6 y 7, es pertinente afirmar que la red triangular (3^6) constituye una red o plataforma geométrica base para el estudio de las restantes redes Arquimedianas. Dada una propiedad medible en esta, también será medible en cualquiera de las restantes redes Arquimedianas y estas mediciones se podrán comparar. El valor medido de la propiedad en la red triangular, constituirá una unidad de medida de la misma para el resto de las redes Arquimedianas.

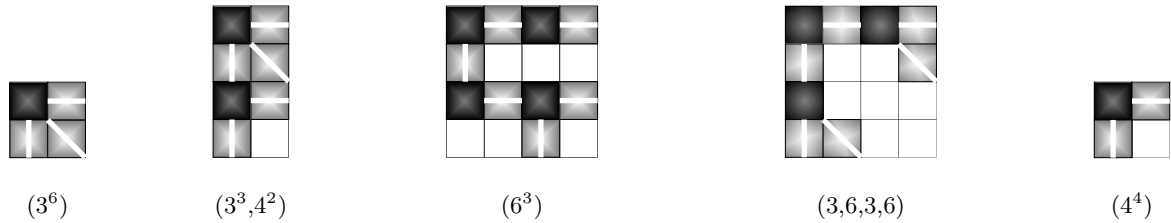


Figura 22. Cinco de las 11 CU de las redes Arquimedianas. A lo sumo utilizan tres direcciones de enlaces para su construcción: 0, 90, y 135 grados. Las mismas utilizadas para la red triangular. Todas las redes Arquimedianas se construyen trasladando horizontalmente y verticalmente las respectivas CU.

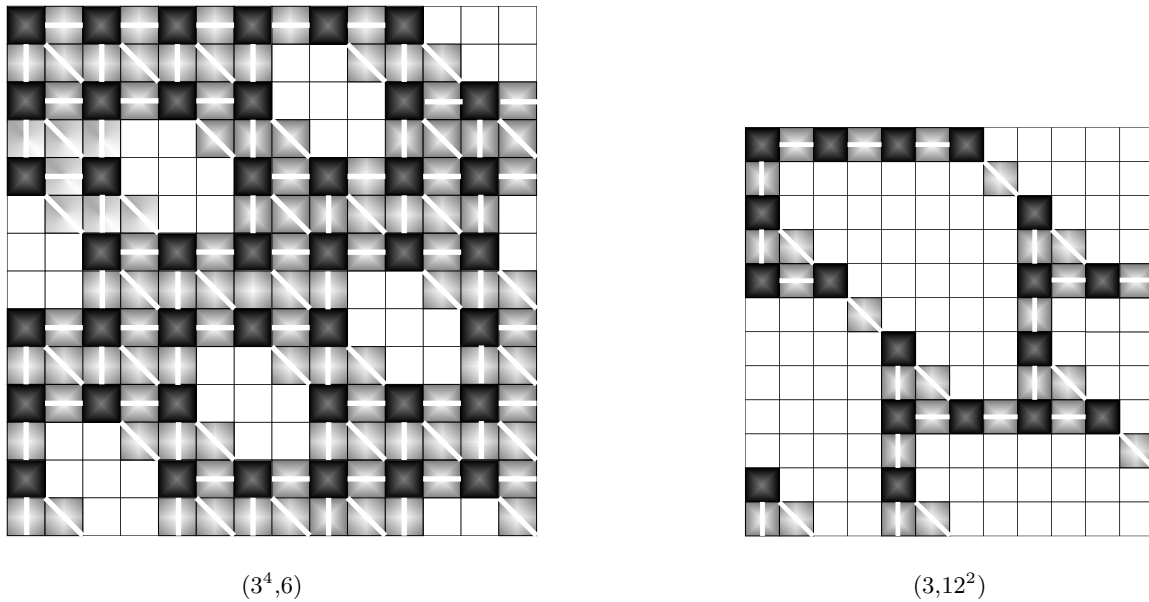


Figura 23. Tres de las 11 CU de las redes Arquimedianas. A lo sumo utilizan tres direcciones de enlaces para su construcción: 0, 90, y 135 grados. Las mismas utilizadas para la red triangular. Todas las redes Arquimedianas se construyen trasladando horizontalmente y verticalmente las respectivas CU.

C. Ordenamiento por inclusión de las curvas de fase del modelo $S \cup B$ e inversión

Tal como se observa en la Figura 16(a), las curvas de fase de la redes Arquimedianas en el modelo $S \cup B$, se ordenan según el criterio inducido por el diagrama de fase mostrado en la Figura 21. A continuación detallamos esta observación:

1. Ordenamiento por inclusión en los rectángulos R_1 y R_5

Rectángulo R_1 : Contiene los puntos $(0, P_{s,c}(0))$ de las distintas redes Arquimedianas. Estos puntos corresponden a los valores críticos de percolación pura de sitios. En la Figura 25(b) y (c), se muestra el diagrama de Hasse del ordenamiento de mayor a menor de los valores críticos de percolación pura de sitios, $P_{s,c}(0)$.

Rectángulo R_5 : Contiene los puntos $(P_{b,c}(0), 0)$ de las distintas redes Arquimedianas. Estos puntos corresponden a los valores críticos de percolación pura de enlaces. En la Figura 25(e) y (f), se muestra el diagrama de Hasse del ordenamiento de mayor a menor de los valores críticos de percolación pura de enlaces, $P_{b,c}(0)$. En las Figuras 25(a) y (g), se muestra el diagrama de Hasse del ordenamiento parcial y total por inclusión de la redes Arquimedianas. Ambos diagramas representan el mismo diagrama de Hasse que el de la Figura 21.

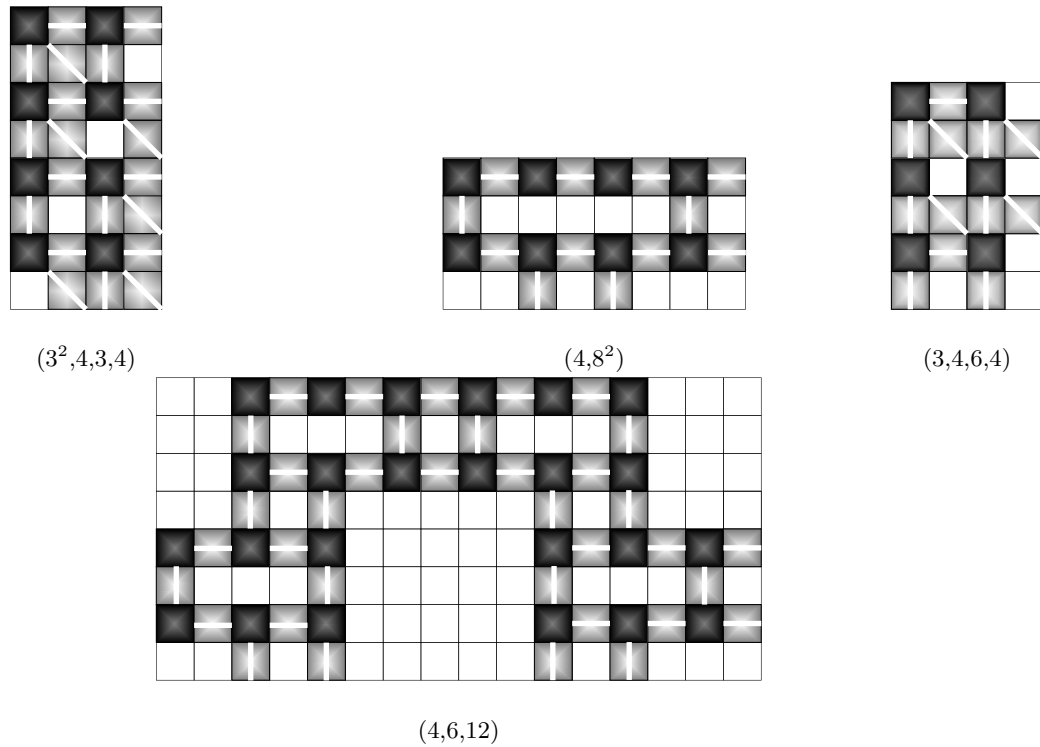


Figura 24. Cuatro de las 11 CU de las redes Arquimedianas. A lo sumo utilizan tres direcciones de enlaces para su construcción: 0, 90, y 135 grados. Las mismas utilizadas para la red triangular. Todas las redes Arquimedianas se construyen trasladando horizontalmente y verticalmente las respectivas CU.

2. Ordenamiento por inclusión en los rectángulos R_2 - R_3 - R_4

Rectángulos R_2 , R_3 , R_4 : Contienen los puntos $(0,1875, P_{s,c}(0,1875))$, $(0,375, P_{s,c}(0,375))$, y $(0,5625, P_{s,c}(0,5625))$, respectivamente, para las distintas redes Arquimedianas.

En la Figura 26 mostramos el ordenamiento por inclusión parcial y total, y por valores críticos de percolación sitio-enlace de los puntos de las curvas de fase contenidos en los rectángulos R_2 , R_3 , y R_4 de la Figura 16(a). Algunas consideraciones sobre estos ordenamientos:

1. El ordenamiento asociado a R_2 , es también válido para cualquier rectángulo vertical similar a este, que contenga los puntos $P_{s,c}(P_b)$ sobre las distintas curvas de fases, con P_b fijo, tal que $0 < P_b \leq 0,3468$, siendo la cota superior de este semi intervalo, el valor crítico de percolación de enlaces puro para la red (3^6) .
2. El ordenamiento asociado a R_3 , en donde ya no aparece la red (3^6) , es también válido para cualquier rectángulo vertical similar a este que, contenga los puntos $P_{s,c}(P_b)$ sobre las distintas curvas de fases, con P_b fijo, tal que $0,3468 < P_b \leq 0,4167$, siendo la cota superior de este semi intervalo, el valor crítico de percolación de enlaces puro para la red $(3^2,4,3,4)$.
3. Podemos realizar ordenamientos similares al realizado para R_3 , válidos para otros semi intervalos de P_b . Estos ordenamientos implicarán cada vez menos redes.
4. El ordenamiento asociado a R_4 , en donde solo aparecen las redes $(3,12^2)$, $(4,6,12)$, $(4,8^2)$, y (6^3) , es también válido para cualquier rectángulo vertical similar a este que, contenga los puntos $P_{s,c}(P_b)$ sobre las distintas curvas de fases, con P_b fijo, tal que $0,5244 < P_b \leq 0,6527$, siendo la cota inferior de este semi intervalo el valor crítico de percolación de enlaces puros para la red $(3,6,3,6)$, y la cota superior de este semi intervalo, el valor crítico de percolación de enlaces puro para la red (6^3) .
5. El último ordenamiento posible, en donde solo aparecería la red $(3,12^2)$, es el que se da en el intervalo $0,6931 < P_b \leq 0,7404$, siendo la cota inferior de este semi intervalo el valor crítico de percolación de enlaces puros para la red $(4,6,12)$, y la cota superior de este semi intervalo, el valor crítico de percolación de enlaces puro para la red $(3,12^2)$.

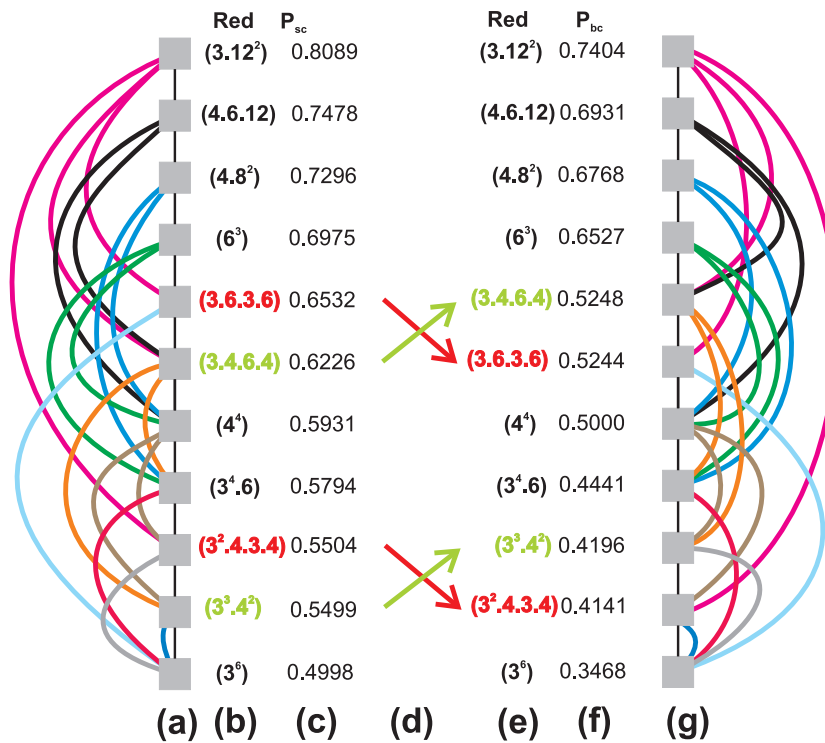


Figura 25. (a) y (g) Diagrama de Hasse del ordenamiento por inclusión parcial y total de la redes Arquimedianas. (b) y (c) Diagrama de Hasse del ordenamiento de mayor a menor de los valores críticos de percolación pura de sitios, $P_{s,c}(0)$. (d) Señalamiento del intercambio de posiciones entre las redes (3,6,3,6), (3,4,6,4) y las redes (3²,4,3,4), (3³,4²). (e) y (f) Diagrama de Hasse del ordenamiento de mayor a menor de valores críticos de percolación pura de enlaces, $P_{b,c}(0)$.

3. Inversiones

En la Figura 21(d), Señalamos la inversión de valores entre los umbrales críticos de percolación pura de sitios y de enlaces para el par de redes (3,6,3,6) y (3,4,6,4) y para el par (3²,4,3,4), (3³,4²). Como veremos luego, esta inversión se debe al cruce entre las curvas de fases que conforman cada par, y no contradicen lo predicho por las relaciones de inclusión pues las redes que conforman cada par forman o son parte de una anticadena.

Inversión entre (3,6,3,6) y (3,4,6,4):

$P_{s,c}^{(3,6,3,6)}(0) > P_{s,c}^{(3,4,6,4)}(0)$. Esta desigualdad se mantiene para $P_b > 0$ hasta el valor P_b^I perteneciente al intervalo $0,5208 < P_b^I < 0,5248$, donde $0,5208$ es la coordenada horizontal del punto $(0,5208, P_{s,c}(0,5208))$ sobre la curva de fase de la red (3,6,3,6) o bien de la red (3,4,6,4), y $0,5248 = P_{b,c}^{(3,4,6,4)}(0)$. Para $P_b > P_b^I$ la desigualdad se invierte, es decir, $P_{s,c}^{(3,6,3,6)}(P_b) < P_{s,c}^{(3,4,6,4)}(P_b)$. Esta inversión hace que se verifique esta otra desigualdad, en el ordenamiento de mayor a menor de los valores críticos de percolación pura de enlaces:

$$P_{b,c}^{(3,6,3,6)}(0) < P_{b,c}^{(3,4,6,4)}(0).$$

Inversión entre (3³,4²) y (3²,4,3,4):

$P_{s,c}^{(3^2,4,3,4)}(0) > P_{s,c}^{(3^3,4^2)}(0)$. Esta desigualdad se mantiene mientras la concentración de enlaces verifique la desigualdad $P_b < 0,021$. En $P_b \approx 0,021$ ambas curvas de fase se interceptan, y para $P_b > 0,021$ la desigualdad se invierte, es decir, $P_{s,c}^{(3^2,4,3,4)}(P_b) < P_{s,c}^{(3^3,4^2)}(P_b)$. Esta inversión hace que se verifique esta otra desigualdad, en el ordenamiento de mayor a menor de los valores críticos de percolación pura de enlaces:

$$P_{b,c}^{(3^2,4,3,4)}(0) < P_{b,c}^{(3^3,4^2)}(0).$$

D. Ordenamiento por inclusión de las curvas de fase del modelo $S \cap B$ e inversión

Tal como se observa en la Figura 16(b), las curvas de fase de la redes Arquimedianas en el modelo $S \cap B$, se ordenan según el criterio inducido por el diagrama de fase mostrado en la Figura 21. A continuación detallamos esta

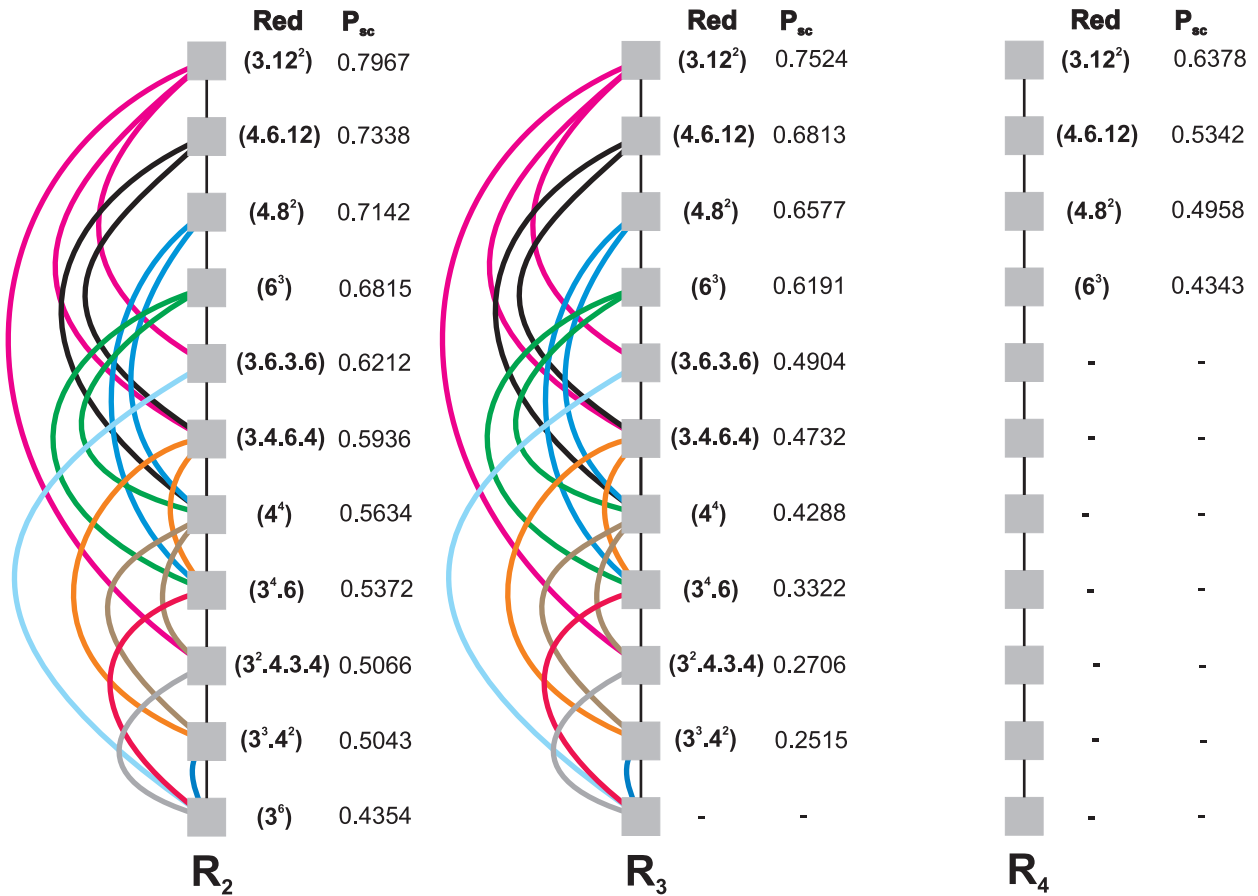


Figura 26. Ordenamiento por inclusión parcial y total, y por valores críticos de percolación sitio-enlace de los puntos de las curvas de fase contenidos en los rectángulos R_2 , R_3 , y R_4 de la Figura 16(a).

observación:

1. Ordenamiento por inclusión en los rectángulos R_1 y R_5

Rectángulo R_1 : Contiene los puntos $(1, P_{s,c}(1))$ de las distintas redes Arquimedianas. Estos puntos corresponden a los valores críticos de percolación pura de sitios. En la Figura 27(b) y (c), se muestra el diagrama de Hasse del ordenamiento de mayor a menor de los valores críticos de percolación pura de sitios, $P_{s,c}(1)$.

Rectángulo R_5 : Contiene los puntos $(P_{b,c}(1), 1)$ de las distintas redes Arquimedianas. Estos puntos corresponden a los valores críticos de percolación pura de enlaces. En la Figura 27(e) y (f), se muestra el diagrama de Hasse del ordenamiento de mayor a menor de los valores críticos de percolación pura de enlaces, $P_{b,c}(1)$. En las Figuras 27(a) y (g), se muestra el diagrama de Hasse del ordenamiento parcial y total por inclusión de la redes Arquimedianas. Ambos diagramas representan el mismo diagrama de Hasse que el de la Figura 21.

2. Ordenamiento por inclusión en los rectángulos R_2 - R_3 - R_4

Rectángulos R_2 , R_3 , R_4 : Contienen los puntos $(0,8953, P_{s,c}(0,8953))$, $(0,7083, P_{s,c}(0,7083))$, y $(0,6042, P_{s,c}(0,6042))$, respectivamente, para las distintas redes Arquimedianas.

En la Figura 28 mostramos el ordenamiento por inclusión parcial y total, y por valores críticos de percolación sitio-enlace de los puntos de las curvas de fase contenidos en los rectángulos R_2 , R_3 , y R_4 de la Figura 16(b). Algunas consideraciones sobre estos ordenamientos:

1. El ordenamiento asociado a R_2 , es también válido para cualquier rectángulo vertical similar a este que, contenga

los puntos $P_{s,c}(P_b)$ sobre las distintas curvas de fases, con P_b fijo, tal que $0,7404 \leq P_b < 0$, siendo la cota inferior de este semi intervalo, el valor crítico de percolación de enlaces puro para la red $(3,12^2)$.

2. El ordenamiento asociado a R_3 , en donde ya no aparece la red $(3,12^2)$, es también válido para cualquier rectángulo vertical similar a este que, contenga los puntos $P_{s,c}(P_b)$ sobre las distintas curvas de fases, con P_b fijo, tal que $0,6931 \leq P_b < 0,7404$, siendo la cota inferior de este semi intervalo, el valor crítico de percolación de enlaces puro para la red $(4,6,12)$.
3. Podemos realizar ordenamientos similares al realizado para R_3 , válidos para otros semi intervalos de P_b . Estos ordenamientos implicarán cada vez menos redes.
4. El ordenamiento asociado a R_4 , es también válido para cualquier rectángulo vertical similar a este que, contenga los puntos $P_{s,c}(P_b)$ sobre las distintas curvas de fases, con P_b fijo, tal que $0,5244 \leq P_b < 0,6527$, siendo la cota inferior de este semi intervalo el valor crítico de percolación de enlaces puros para la red $(3,6,3,6)$, y la cota superior de este semi intervalo, el valor crítico de percolación de enlaces puro para la red (6^3) .
5. El último ordenamiento posible, en donde solo aparece la red (3^6) , es el que se da en el intervalo $0,3468 \leq P_b < 0,4141$, siendo la cota inferior de este semi intervalo el valor crítico de percolación de enlaces puros para la red (3^6) , y la cota superior de este semi intervalo, el valor crítico de percolación de enlaces puro para la red $(3^2,4,3,4)$.

3. Inversiones

En la Figura 21(d), Señalamos la inversión de valores entre los umbrales críticos de percolación pura de sitios y de enlaces entre el par de redes $(3,6,3,6)$ y $(3,4,6,4)$ y el par $(3^2,4,3,4)$, $(3^3,4^2)$. Como veremos luego, esta inversión también se debe al cruce entre las curvas de fases que conforman cada par, y no contradicen lo predicho por las relaciones de inclusión pues las redes que conforman cada par forman o son parte de una anticadena.

Inversión entre $(3,6,3,6)$ y $(3,4,6,4)$:

$P_{s,c}^{(3,6,3,6)}(1) > P_{s,c}^{(3,4,6,4)}(1)$. Esta desigualdad se mantiene para $P_b < 1$ hasta aproximadamente $P_b^I = 0,5417$ donde $P_{s,c}^{(3,6,3,6)}(P_b^I) = P_{s,c}^{(3,4,6,4)}(P_b^I) = 0,9773$, es decir, hasta el punto donde las curvas de fase se interceptan, contenido en el rectángulo R_7 . En P_b^I la desigualdad se invierte, y ahora para $P_b < P_b^I$ se verifica que $P_{s,c}^{(3,6,3,6)}(P_b) < P_{s,c}^{(3,4,6,4)}(P_b)$. Esta inversión hará que se verifique la desigualdad:

$$P_{b,c}^{(3,6,3,6)}(1) < P_{b,c}^{(3,4,6,4)}(1).$$

Esta desigualdad, es similar a la desigualdad señalada en la Figura 25, en el ordenamiento de mayor a menor de los valores críticos de percolación pura de enlaces $P_{b,c}(0)$. También la observamos en la Figura 27, en el ordenamiento de mayor a menor de los valores críticos de percolación pura de enlaces $P_{b,c}(1)$.

Inversión entre $(3^3,4^2)$ y $(3^2,4,3,4)$:

$P_{s,c}^{(3^3,4^2)}(1) > P_{s,c}^{(3^2,4,3,4)}(1)$. Esta desigualdad se mantiene para $P_b < 1$ hasta aproximadamente $P_b = 0,5417$ donde $P_{s,c}^{(3^3,4^2)}(P_b) = P_{s,c}^{(3^2,4,3,4)}(P_b) = 0,8318$, es decir, hasta el punto donde las curvas de fase se interceptan, contenido en el rectángulo R_6 . Para $P_b < 0,5417$ la desigualdad se invierte, ahora $P_{s,c}^{(3^3,4^2)}(P_b) < P_{s,c}^{(3^2,4,3,4)}(P_b)$ se mantendrá hasta un punto P_b^I del intervalo $0,4141 \leq P_b^I < 0,4375$, en donde nuevamente $P_{s,c}^{(3^3,4^2)}(P_b^I) = P_{s,c}^{(3^2,4,3,4)}(P_b^I)$. Para $P_b < P_b^I$ se invertirá nuevamente, es decir, $P_{s,c}^{(3^3,4^2)}(P_b) > P_{s,c}^{(3^2,4,3,4)}(P_b)$. Esta última relación hará que se produzca la desigualdad:

$$P_{b,c}^{(3^3,4^2)}(1) > P_{b,c}^{(3^2,4,3,4)}(1)$$

Esta desigualdad, es similar a la desigualdad señalada en la Figura 25, en el ordenamiento de mayor a menor de los valores críticos de percolación pura de enlaces $P_{b,c}(0)$. También la observamos en la Figura 27, en el ordenamiento de mayor a menor de los valores críticos de percolación pura de enlaces $P_{b,c}(1)$.

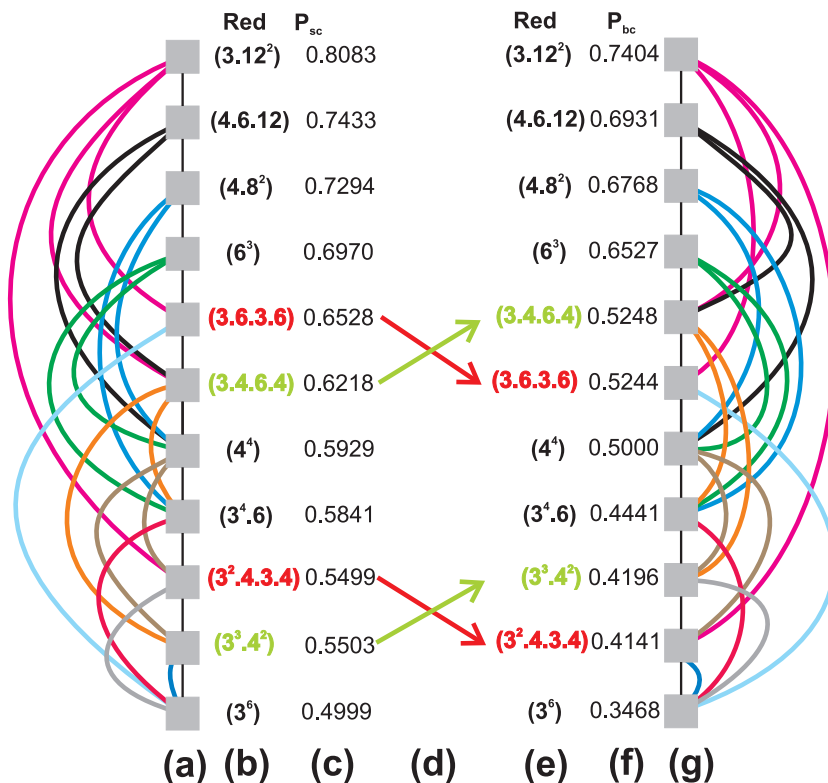


Figura 27. (a) y (g) Diagrama de Hasse del ordenamiento por inclusión parcial y total de la redes Arquimedianas. Diagrama de Hasse del ordenamiento parcial y total por inclusión de la redes Arquimedianas. (b) y (c) Diagrama de Hasse del ordenamiento de mayor a menor de los valores críticos de percolación pura de sitios, $P_{s,c}(1)$. (d) Señalamiento del intercambio de posiciones entre las redes $(3,6,3,6)$, $(3,4,6,4)$ y las redes $(3^2,4,3,4)$, $(3^3,4^2)$. (e) y (f) Diagrama de Hasse del ordenamiento de mayor a menor de valores críticos de percolación pura de enlaces, $P_{b,c}(1)$.

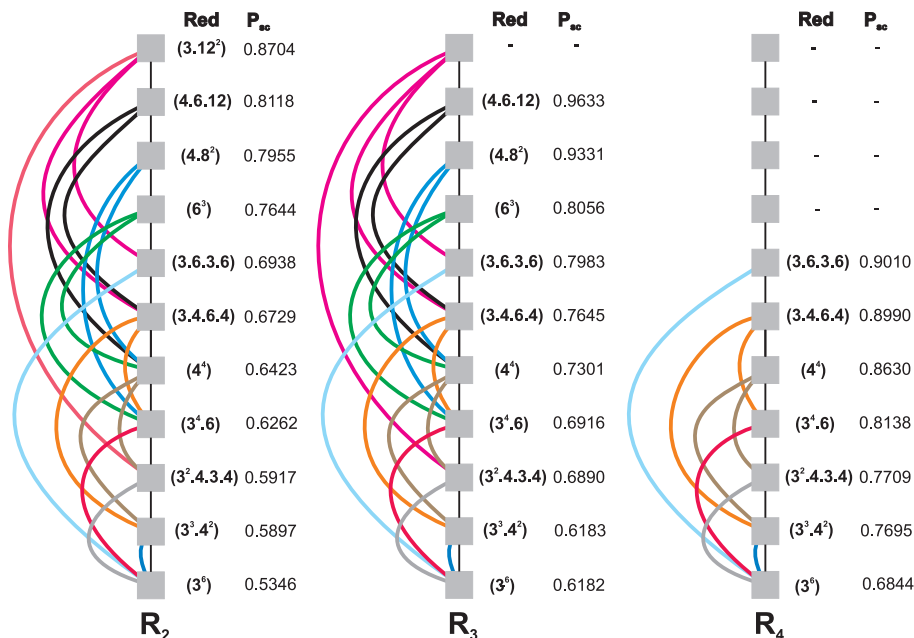


Figura 28. Ordenamiento por inclusión parcial y total, y por valores críticos de percolación sitio-enlace de los puntos de las curvas de fase contenidos en los rectángulos R_2 , R_3 , y R_4 de la Figura 16(b).

VII. CONCLUSIONES

1. Hemos presentado una forma geométrica alternativa de representar cada una de las redes Arquimedianas. Esta representación se fundamenta en la construcción de celdas unidad (CU) para cada una de ellas, las cuales trasladadas horizontalmente y verticalmente, nos permiten alcanzar el tamaño deseado de la red en estudio. Las CU propuestas utilizan hasta cuatro direcciones de enlaces 0° , 45° , 90° , y 135° , respectivamente, medidos respecto del eje horizontal; las mismas permiten que las aristas de cada red Arquimediana, pueden ser elegidas de manera tal que sean un múltiplo de 48, lo que permite diseñar a todas las redes Arquimedianas del mismo tamaño, facilitando la realización de estudios de comparación entre ellas sin preocupación por la disparidad de tamaños entre redes. Usamos estas CU para la determinación de las curvas de fase de todas las redes Arquimedianas.
2. En el marco de la representación alternativa propuesta, hemos complementando el trabajo de Parviainen et al [26], presentando una CU alternativa para cada una de las redes Arquimedianas, las cuales utilizan a lo sumo tres direcciones de enlaces distintas 0° , 90° , y 135° , respectivamente, medidos respecto del eje horizontal; las mismas permiten que las aristas de cada red Arquimediana, pueden ser elegidas de manera tal que sean un múltiplo de 336, lo que también permite diseñar a todas las redes Arquimedianas del mismo tamaño, facilitando la realización de estudios de comparación entre ellas sin preocupación por la disparidad de tamaños entre redes. Una cuestión importante de estas CU en el caso de ser elegidas todas del mismo tamaño, es que el mismo conjunto de pares ordenados de números enteros utilizados para etiquetar y caracterizar los sitios y enlaces de la red triangular, puede ser usado para etiquetar y caracterizar los sitios y enlaces de cada una de las restantes redes Arquimedianas, pues estas están en ella.
3. Hemos mostrado que la dupla "CU alternativa, función módulo" permite caracterizar por completo cada sitio y enlace de cada red Arquimediana, facilitando enormemente el tratamiento computacional de las mismas.
4. Hemos desarrollado y puesto a consideración, un proceso computacional que nos permite obtener las curvas de fase asociadas a la deposición aleatoria de monómeros, para cada una de las redes Arquimedianas. Validamos el proceso computacional con datos obtenidos por Tarasevich et al [16] para las redes (4^4) , (3^6) , (6^3) , $(3^3, 4^2)$, $(3^2, 4, 3, 4)$ y $(3, 6, 3, 6)$, en el caso del modelo $S \cap B$; y con datos obtenidos por Gonzalez et al [2, 3] para las redes (4^4) y (3^6) en el caso de los modelos $S \cap B$ y $S \cup B$, respectivamente.
5. Presentamos por primeras vez las curvas de fase asociadas al modelo $S \cap B$, para las redes $(3, 4, 6, 4)$, $(4, 6, 12)$, $(4, 8^2)$, $(3, 12^2)$, y $(3^4, 6)$, respectivamente; y las curvas de fase asociadas al modelo $S \cup B$, para las redes (6^3) , $(3^3, 4^2)$, $(3^2, 4, 3, 4)$, $(3, 6, 3, 6)$, $(3, 4, 6, 4)$, $(4, 6, 12)$, $(4, 8^2)$, $(3, 12^2)$, y $(3^4, 6)$, respectivamente.
6. Hemos mostrado que el conjunto formado por las curvas de fase por deposición de monómeros, de cada una de las redes Arquimedianas, se ordenan en el espacio de fase tal como lo inducen las relaciones de inclusión parcial y total entre ellas, tanto en el modelo $S \cup B$, como en el modelo $S \cap B$.
7. Hemos mostrado que la inversión de las desigualdades $P_{s,c}^G > P_{s,c}^H$, entonces $P_{b,c}^G < P_{s,c}^H$, observada en este trabajo par el par de redes $(3, 6, 3, 6)$ y $(3, 4, 6, 4)$ y para el par $(3^3, 4^2)$ y $(3^2, 4, 3, 4)$, tanto en el modelo $S \cup B$, como en el modelo $S \cap B$, se deben al cruce entre las curvas de fase de las redes que conforman cada par. Como las redes que conforman cada par implicado en las inversiones observadas, forman o son parte de una anticadena, esta conclusión no contradice lo expresado en el ítem 6.

-
- [1] M. Newman, “Networks: An introduction oxford univ,” (2010).
 - [2] M. González, P. Centres, W. Lebrecht, A. Ramirez-Pastor, and F. Nieto, *Physica A: Statistical Mechanics and its Applications* **392**, 6330 (2013).
 - [3] M. González, P. Centres, W. Lebrecht, and A. Ramirez-Pastor, *Journal of Statistical Mechanics: Theory and Experiment* **2016**, 093210 (2016).
 - [4] J. M. Hammersley, *The Annals of Mathematical Statistics* **28**, 790 (1957).
 - [5] A. Coniglio, H. Stanley, and W. Klein, *Phys. Rev. Lett* **42**, 518 (1979).
 - [6] R. Ziff, E. Gulari, and Y. Barshad, *Phys. Rev. Lett* **56**, 2553 (1986).
 - [7] C. Rettner and H. Stein, *Phys. Rev. Lett* **59**, 2768 (1987).
 - [8] Z. Gao and Z. Yang, *Physica A* **255**, 242 (1998).
 - [9] J. Hammersley, *Math. Proc. Camb. Phil. Soc* **88**, 167 (1980).
 - [10] M. Yanuka, *J. Colloid Interface Sci* **134**, 198 (1990).
 - [11] R. Englman and Z. Jaeger, *Physica A* **168**, 655 (1990).
 - [12] H. Frisch and J. Hammersley, *J. Soc. Ind. Appl. Math* **11**, 894 (1963).
 - [13] J. Hoshen, P. Klymko, and R. Kopelman, *Journal of Statistical Physics* **21**, 583 (1979).
 - [14] P. Agrawal, S. Render, P. Reynolds, and H. Stanley, *J. Phys. A: Math. Gen* **12**, 2073 (1979).
 - [15] H. Nakanishi and J. Reynolds, *Phys. Lett. A* **71**, 252 (1979).
 - [16] Y. Tarasevich and S. Van Der Marck, *Int. J. Mod. Phys. C* **10**, 1193 (1999).
 - [17] M. Yanuka and R. Englman, *J. Phys. A: Math. Gen* **23**, 339 (1990).
 - [18] A. Y. Tretyakov and N. Inui, *Journal of Physics A: Mathematical and General* **28**, 3985 (1995).
 - [19] F. Yonezawa, S. Sakamoto, and M. Hori, *Physical Review B* **40**, 636, 650 (1989).
 - [20] B. Grünbaum and G. C. Shephard, *Tilings and patterns* (Courier Dover Publications, 1987).
 - [21] C. Godsil and G. F. Royle, *Algebraic graph theory*, Vol. 207 (Springer Science & Business Media, 2001).
 - [22] R. Sedgewick, *Algoritmos en C++* (Ediciones Díaz de Santos, 1995).
 - [23] K. Christensen and N. R. Moloney, *Complexity and criticality*, Vol. 1 (World Scientific Publishing Company, 2005).
 - [24] A. L. Efros, *Percolation Theory* (1982).
 - [25] D. Stauffer and A. Aharony, “Introduction to percolation theory,” (1994).
 - [26] R. Parviainen and J. C. Wierman, *the electronic journal of combinatorics* **10**, R00 (2003).
 - [27] J. C. Wierman, *Discrete applied mathematics* **129**, 545 (2003).
 - [28] R. P. Dilworth, *Classic papers in combinatorics* , 139 (1987).